

XMCDを用いた磁性薄膜の研究

藤森 淳

(東京大学理学系研究科)

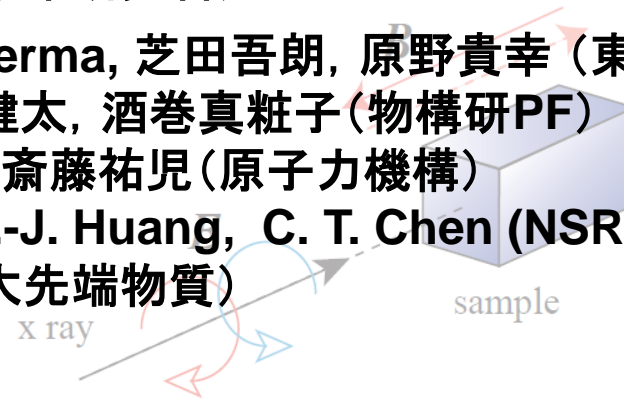
門野利治, V. R. Singh, 石上啓介, V. K. Verma, 芝田吾朗, 原野貴幸 (東大理)

PF BL-16A2: 小出常晴, 朝倉大輔, 雨宮健太, 酒巻真粧子 (物構研PF)

SPring8 BL23-SU: 竹田幸治, 岡根哲夫, 斎藤祐児 (原子力機構)

TLS BL-11A1: F. H. Chang, H.-J. Lin, D.-J. Huang, C. T. Chen (NSRRC, Taiwan)

多重項計算, クラスタ計算: 田中 新 (広大先端物質)



概要

- 測定原理, 特徴

- 一希薄磁性半導体薄膜

Crドープ $\text{Cd}_{1-x}\text{Mn}_x\text{Te}$: 黒田眞司, 石川 弘一郎, 金澤 研 (筑波大)

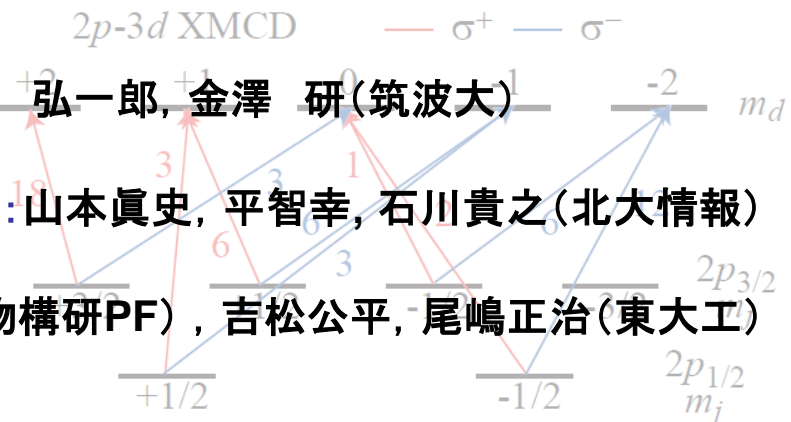
- 一磁気トンネル結合界面

ホイスラー $\text{Co}_2\text{MnGe}/\text{MgO}/\text{Co}_2\text{MnGe}$: 山本眞史, 平智幸, 石川貴之 (北大情報)

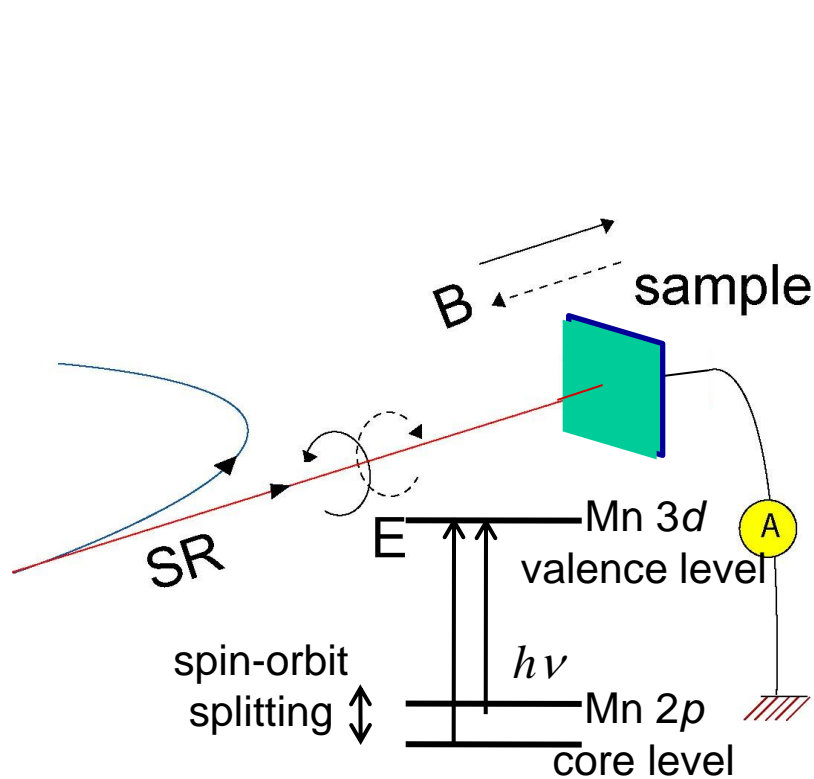
- 一酸化物薄膜

SrRuO_3 , $\text{La}_{1-x}\text{Sr}_x\text{MnO}_3$: 組頭広志 (物構研PF), 吉松公平, 尾嶋正治 (東大工)

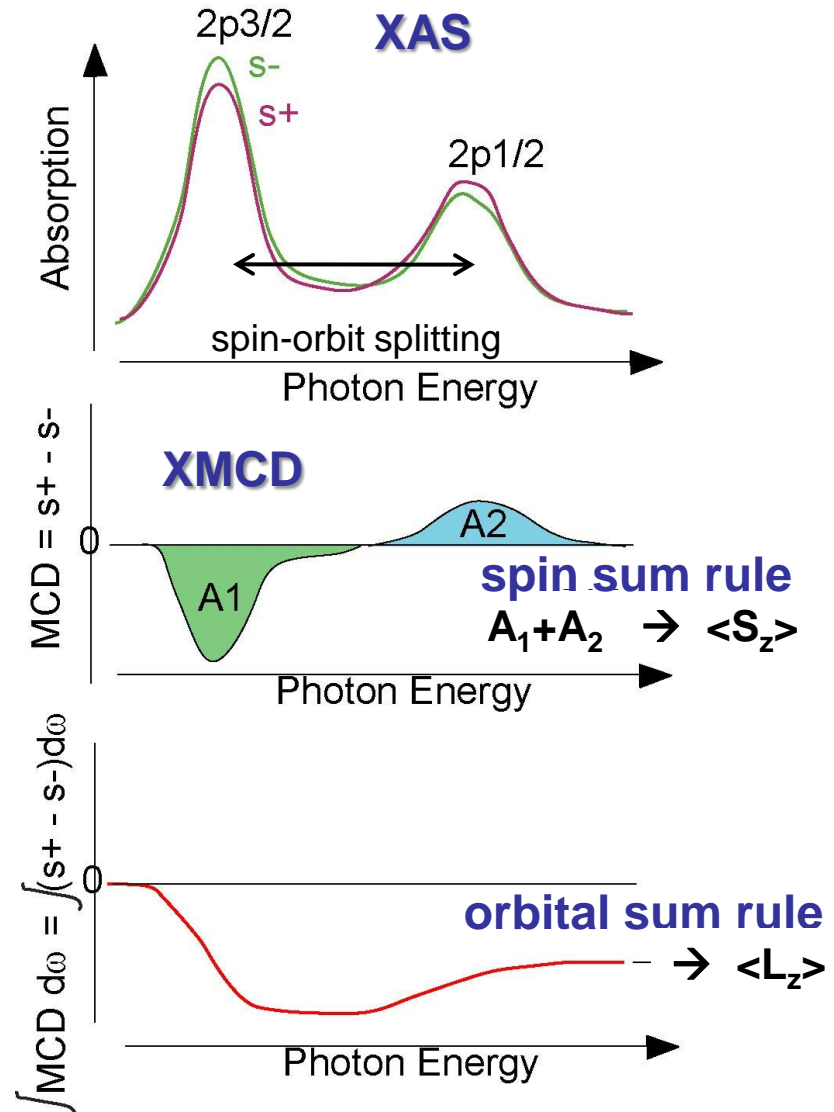
- 今後の展望



X-ray magnetic circular dichroism (XMCD) in core-level x-ray absorption spectroscopy (XAS)



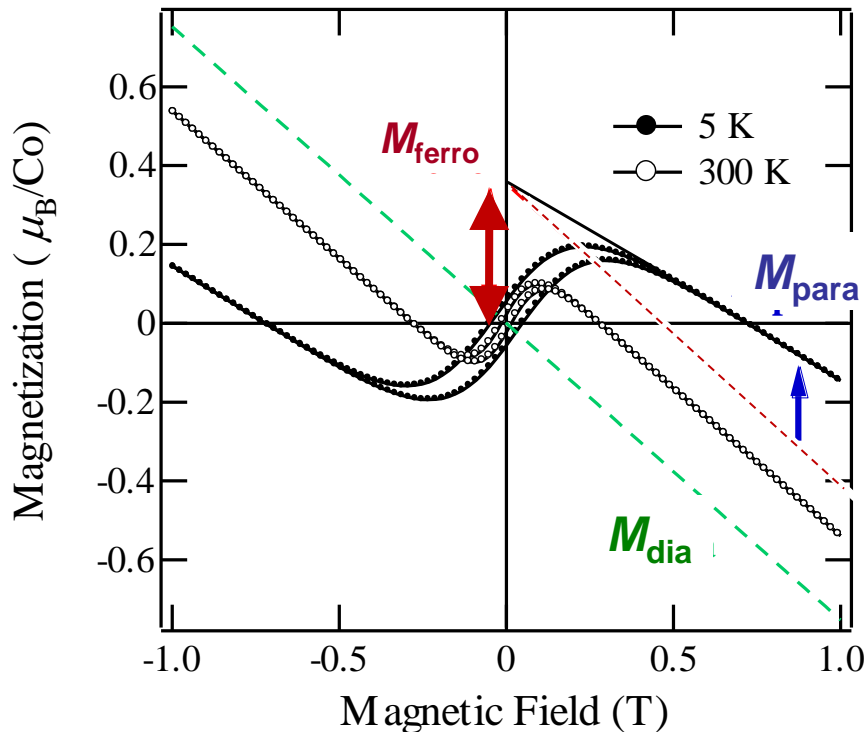
- Element-specific
- Chemical state-selective
- Magnetism-selective



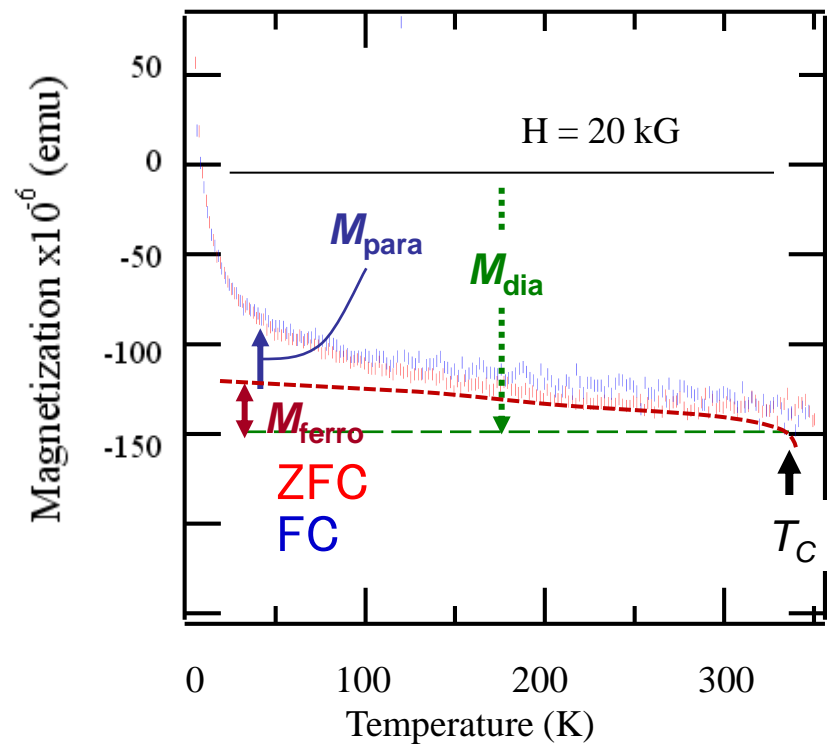
Ferromagnetic and paramagnetic components in magnetization and XMCD signals

SQUID data of thin film sample

M-H curve



M-T curve



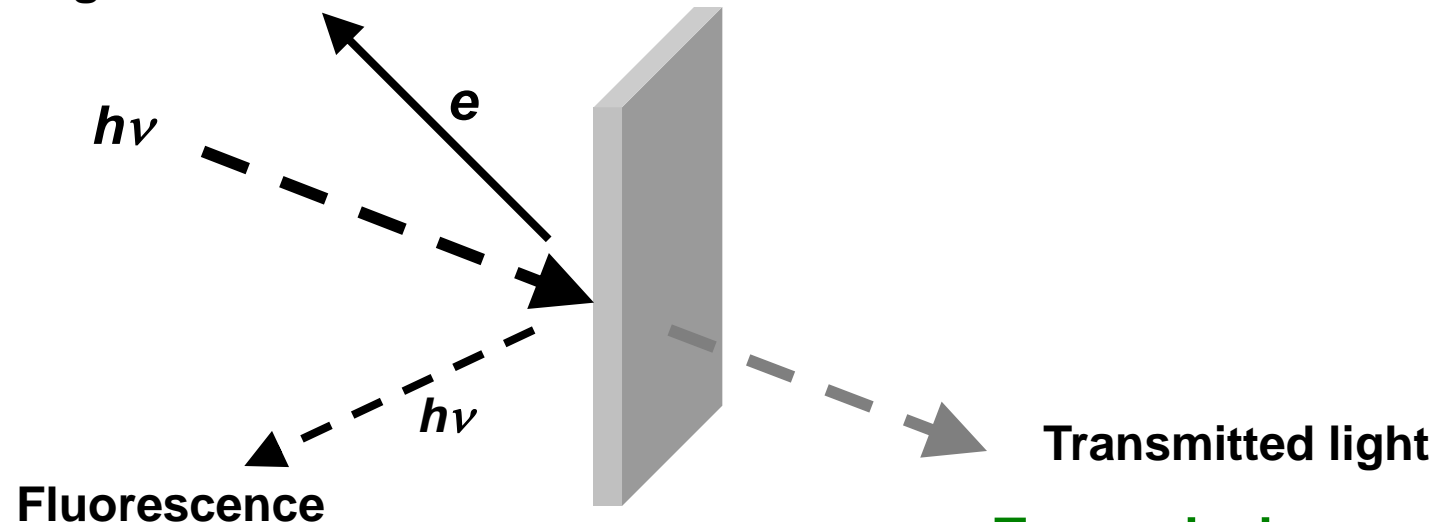
$$M = M_{\text{dia}} + \boxed{M_{\text{ferro}} + M_{\text{para}}} \rightarrow \text{XMCD signals}$$

Surface- and bulk-sensitive detection modes of XAS and XMCD measurements

Total electron yield (TEY) mode

probing depth ~ 3-5nm

Auger electron



Transmission mode

Bulk

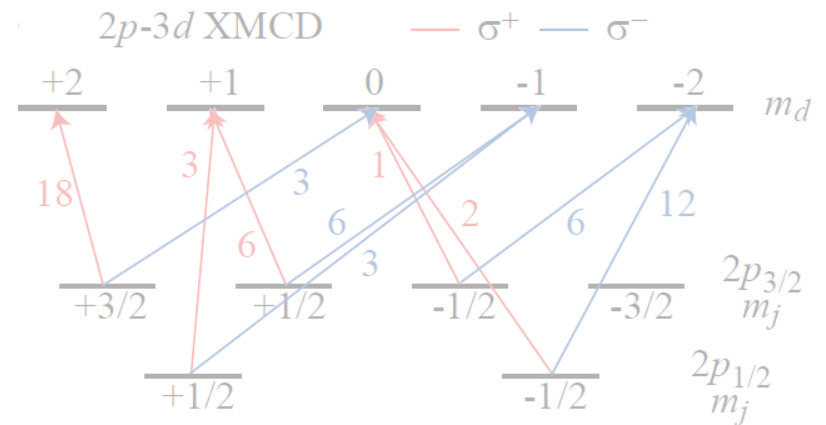
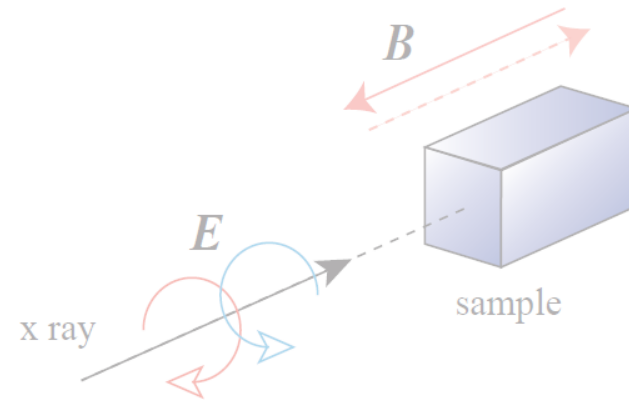
Prohibited by ~mm thick substrate

Total fluorescence yield (TFY) mode

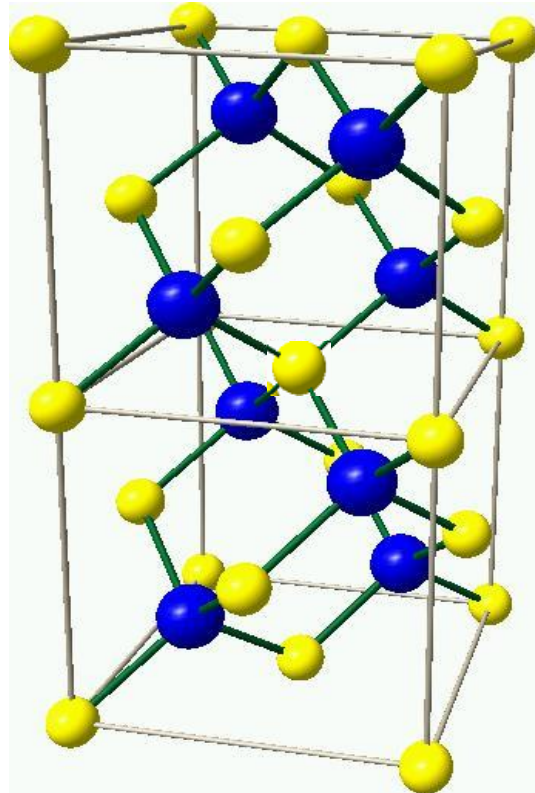
probing depth ~ 100nm ~ film thickness

Disadvantage: Self-absorption → Partial fluorescence yield (PFY) mode

希薄磁性半導体薄膜

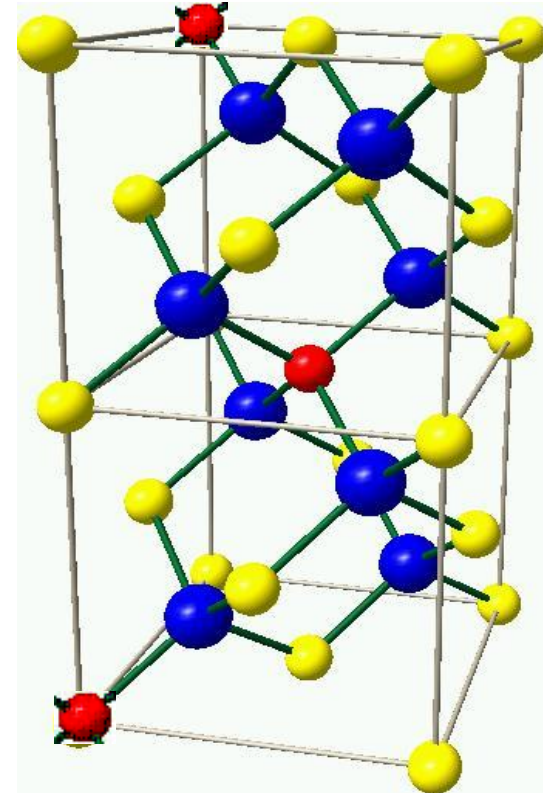


Prototypical diluted magnetic semiconductor $\text{Cd}_{1-x}\text{Mn}_x\text{Te}$



Random
Mn substitution

Insulating
AF/spin glass



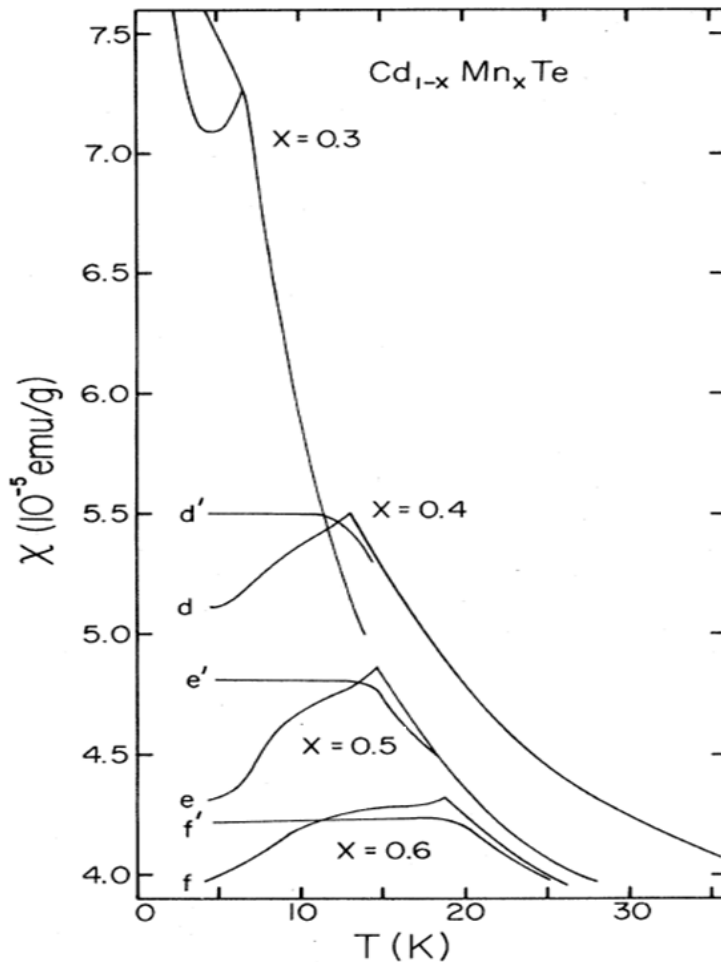
Cd^{2+}Te



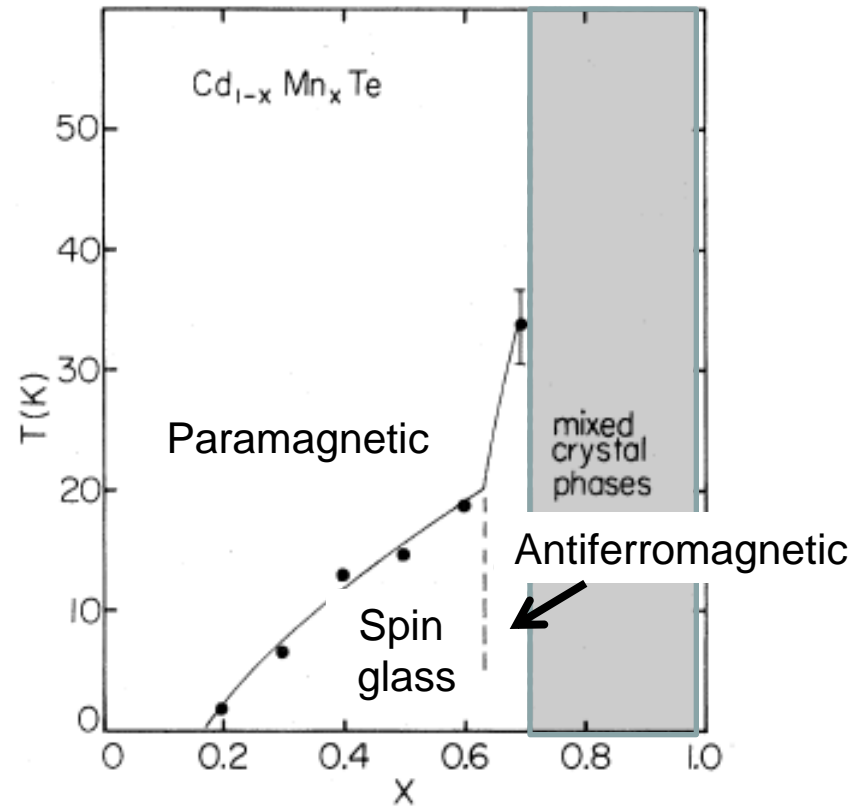
$\text{Cd}^{2+}_{1-x}\text{Mn}^{2+}_x\text{Te}$: Giant Faraday rot.
→ Optical isolators

Prototypical diluted magnetic semiconductor $\text{Cd}_{1-x}\text{Mn}_x\text{Te}$

Magnetic susceptibility

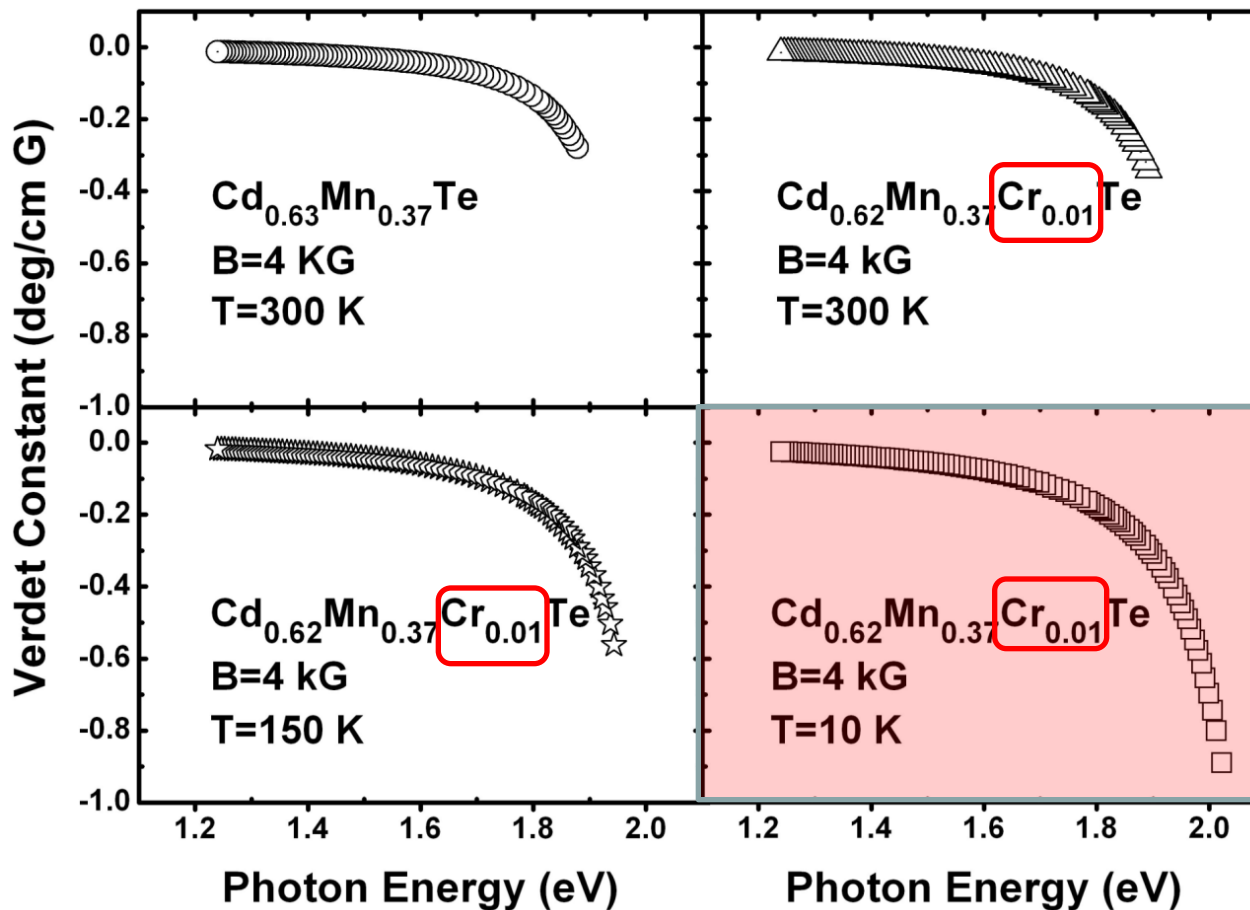


Phase diagram



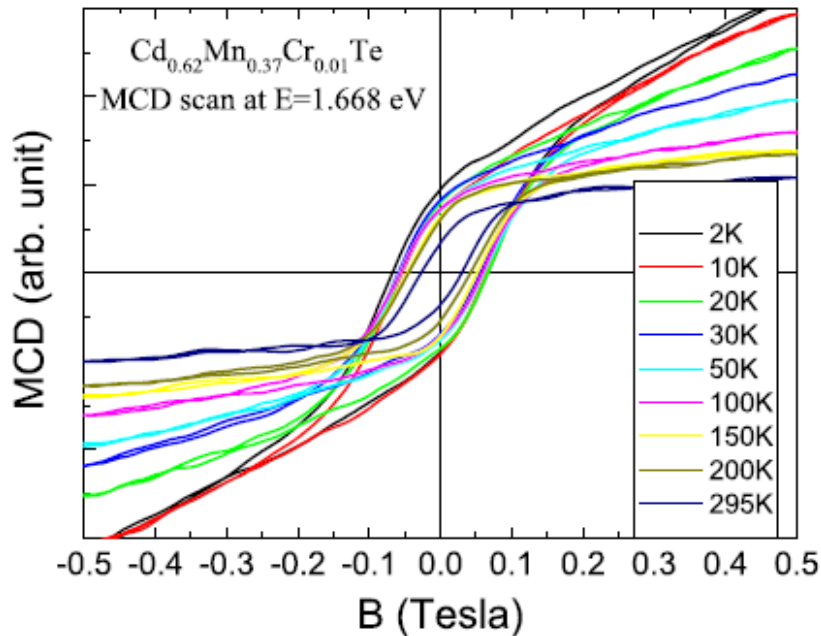
Enhanced magneto-optical properties of $\text{Cd}_{1-x}\text{Mn}_x\text{Te}$ by Cr doping

Faraday rotation

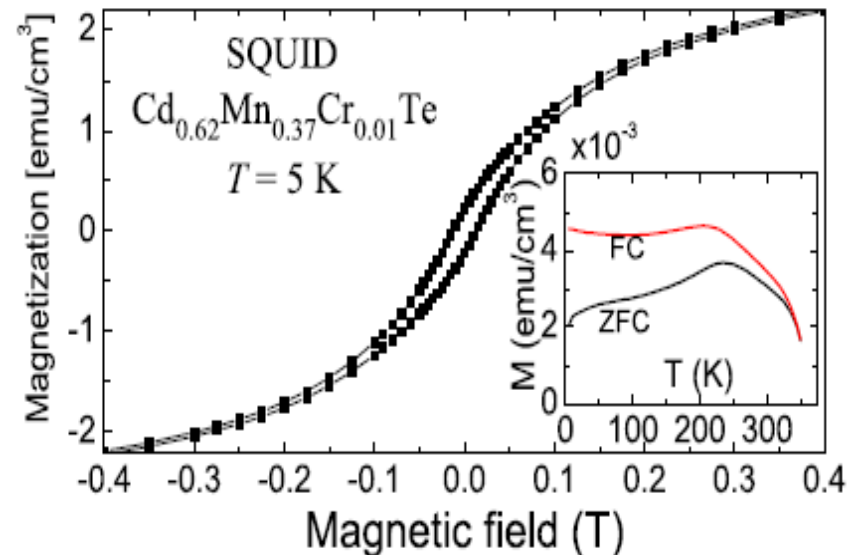


Enhanced magnetic and magneto-optical properties of $\text{Cd}_{1-x}\text{Mn}_x\text{Te}$ through Cr doping

Vis-MCD vs H curves



Magnetization vs H curves

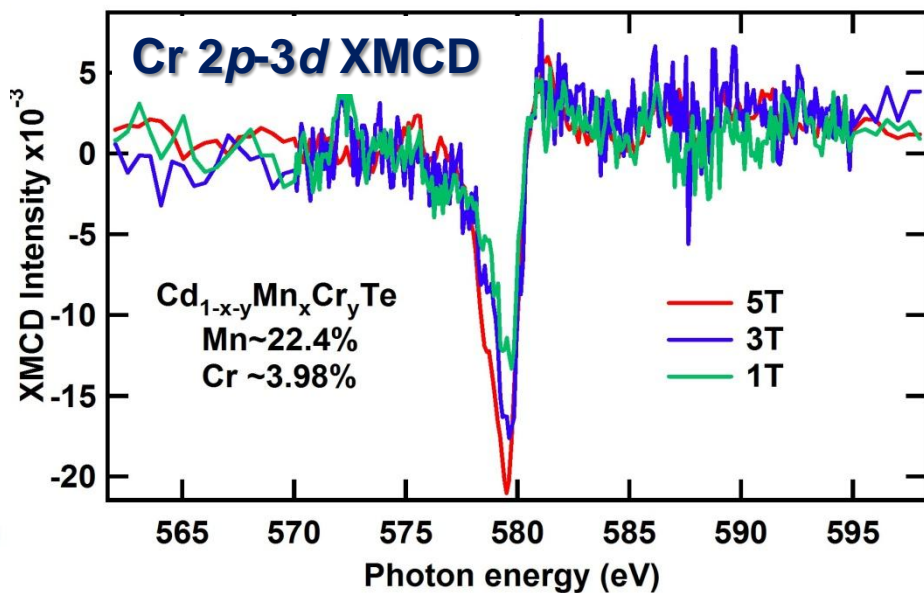
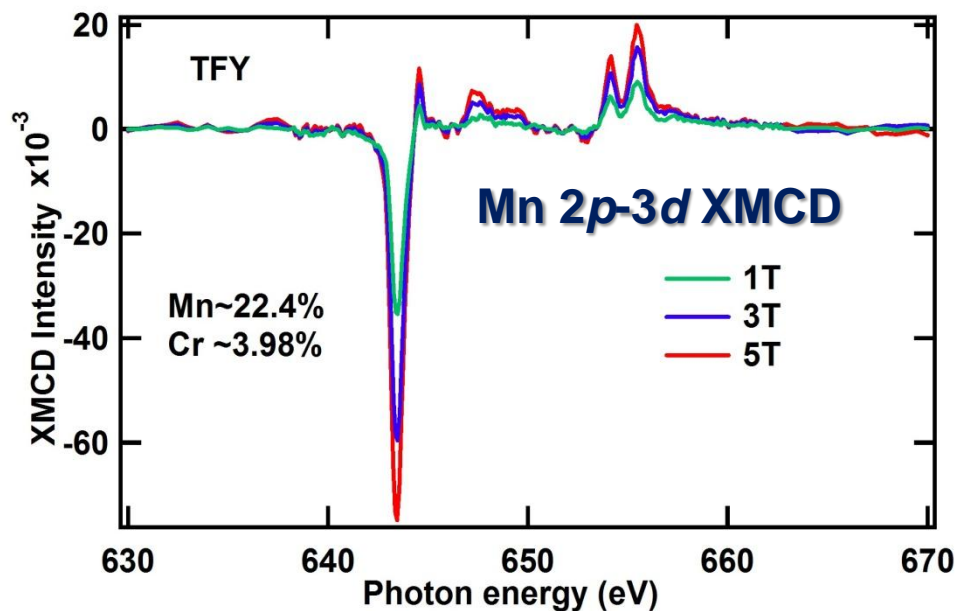
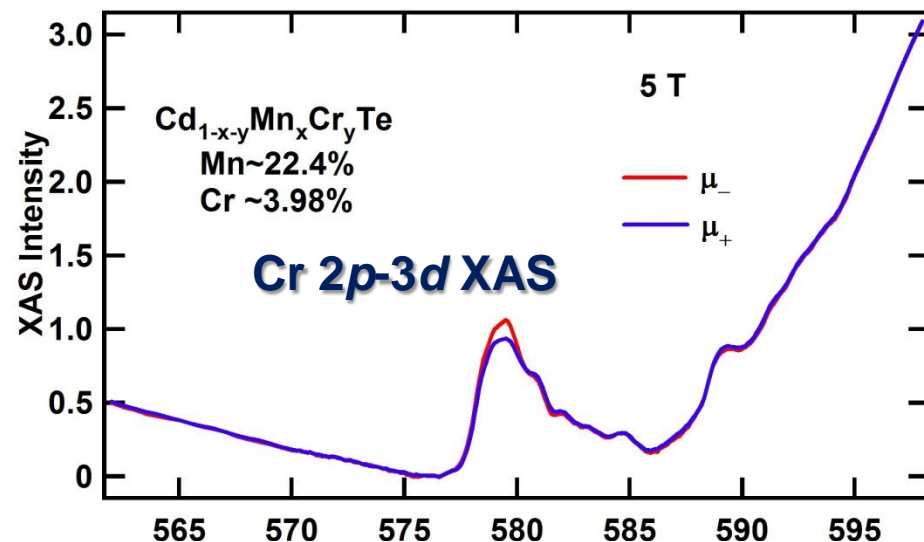
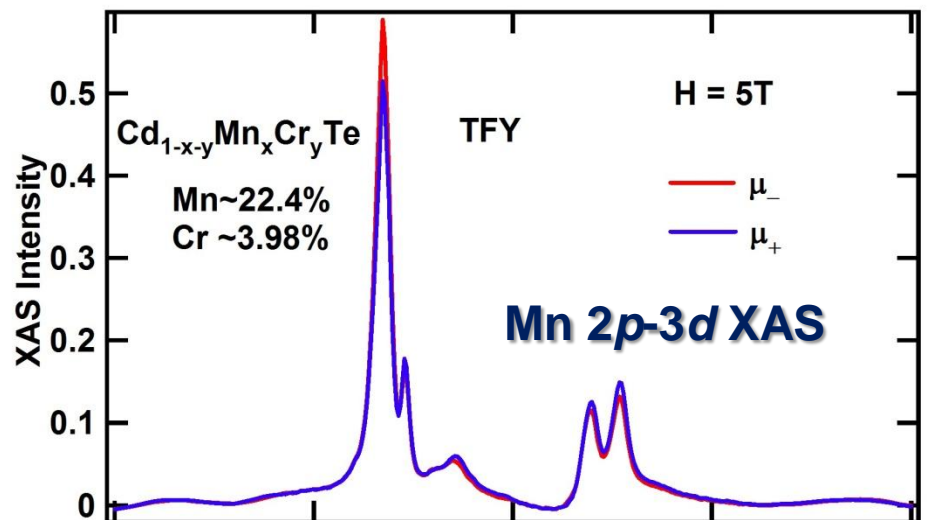


S. Shen et al., APL '09

→ $\text{Cd}_{0.76}\text{Mn}_{0.20}\text{Cr}_{0.04}\text{Te}/\text{GaAs}$ (001)

$H=5$ T, $T=15$ K, TFY mode
@ KEK-PF BL-16A

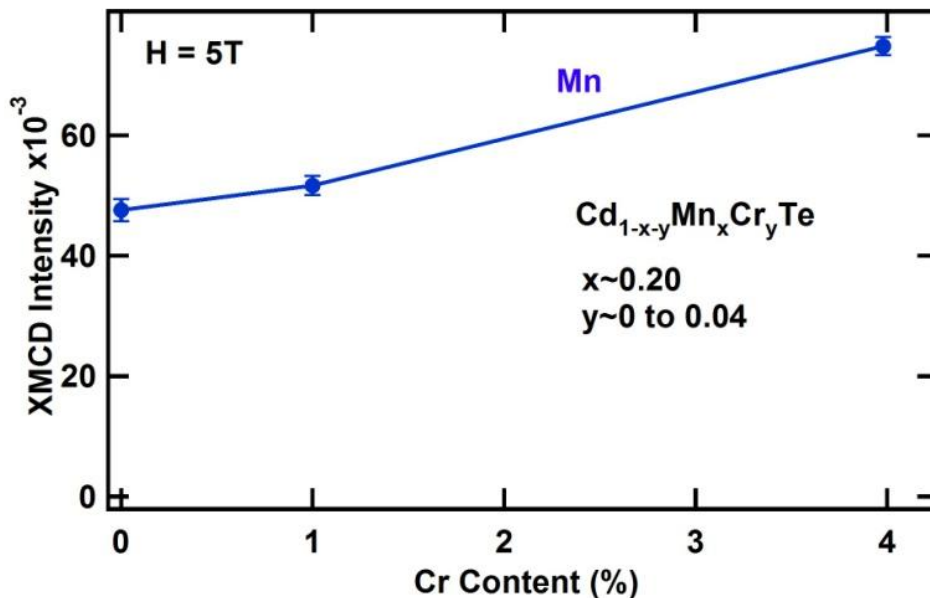
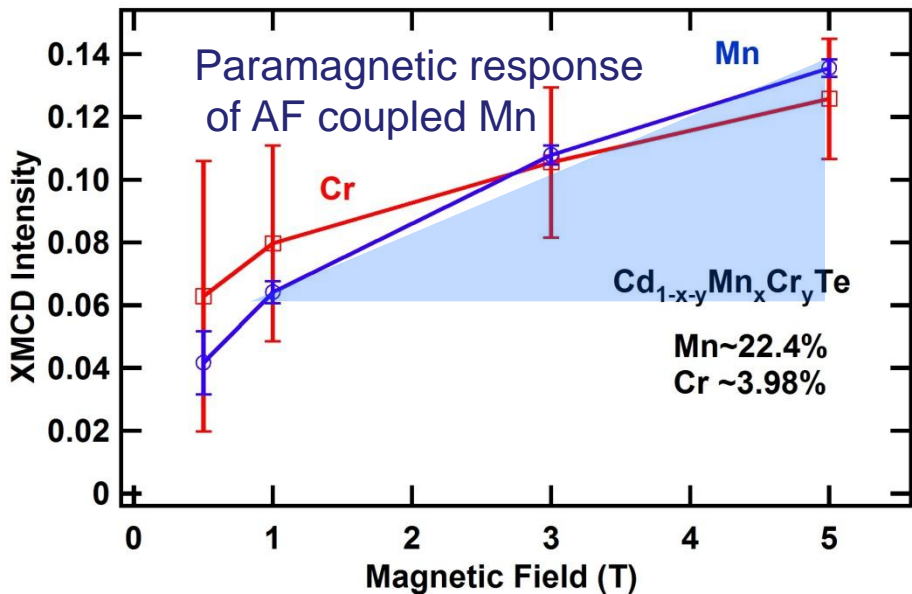
Mn and Cr 2p → 3d XMCD of Cd_{1-x-y}Mn_xCr_yTe



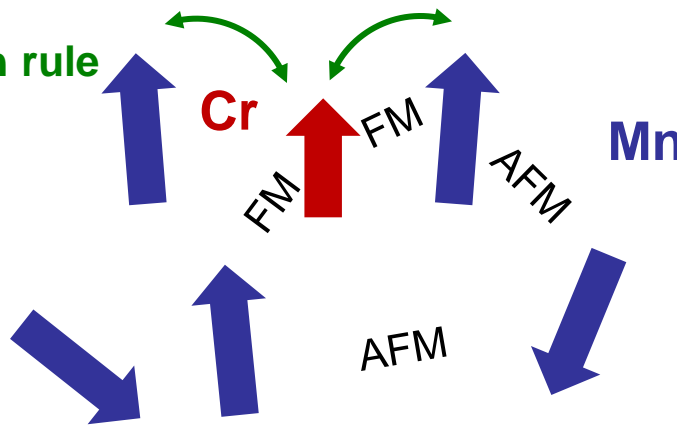
Mn and Cr 2p → 3d XMCD of Cd_{1-x-y}Mn_xCr_yTe

XMCD intensity vs H

XMCD intensity vs Cr content

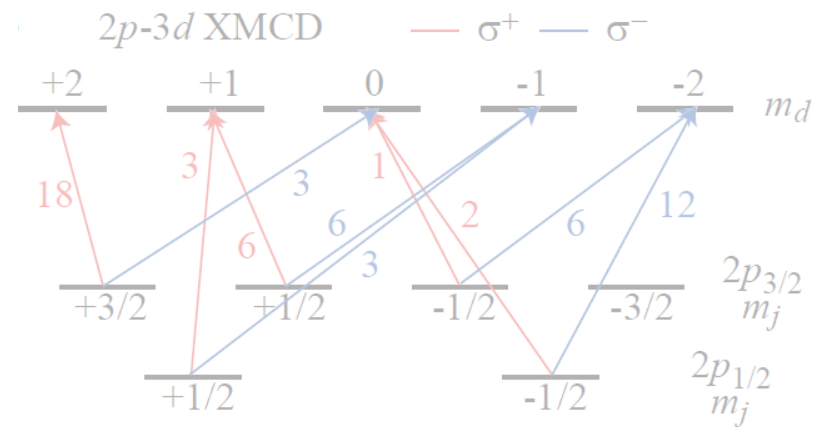
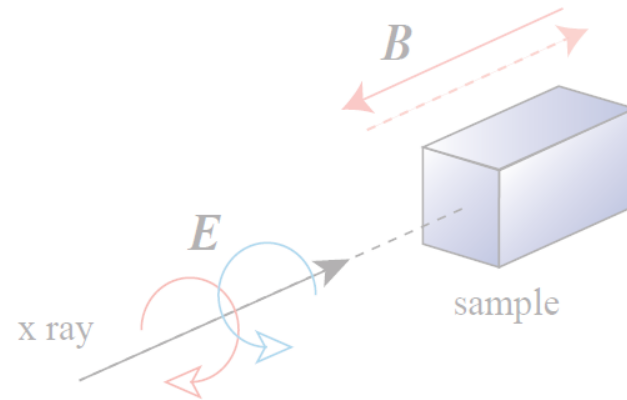


Kanamori-Goodenough rule



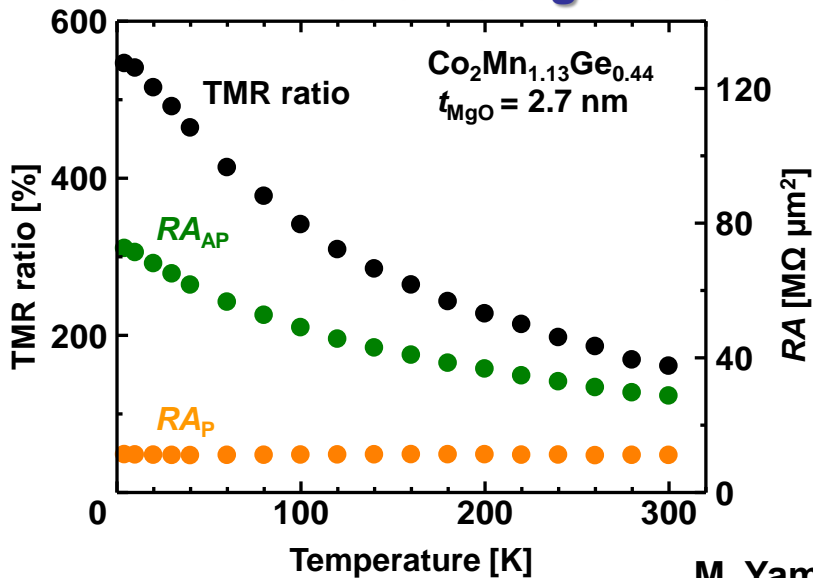
V. K. Verma et al.

磁気トンネル接合界面



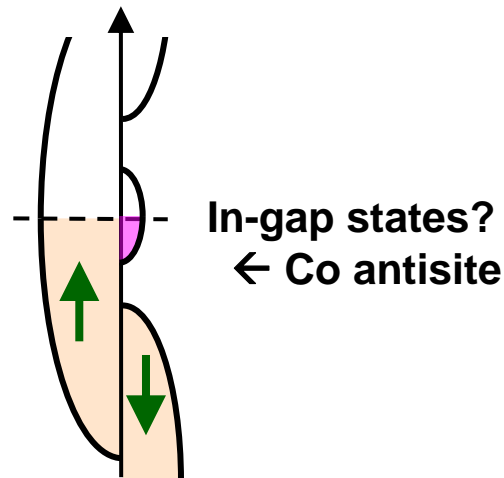
Co₂MnGe/MgO/Co₂MnGe magnetic tunnel junction

TMR ratio of CMG/MgO/CMG



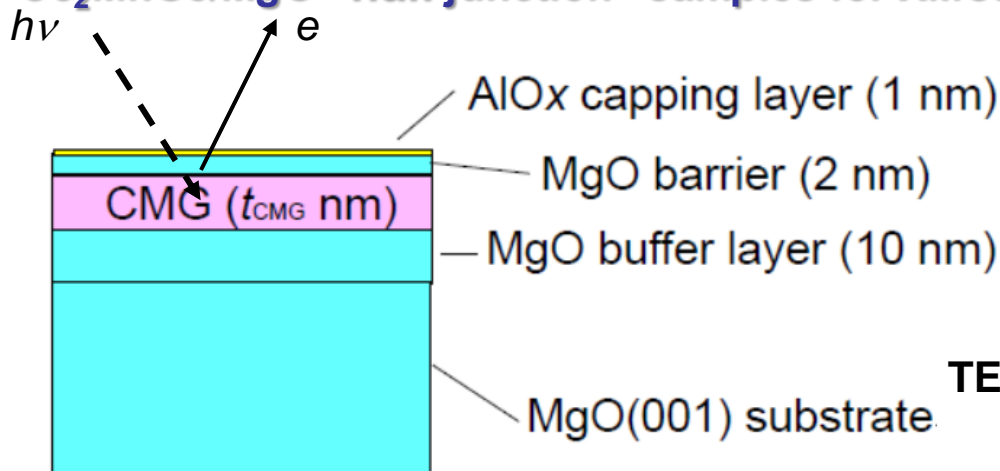
M. Yamamoto et al.

DOS at interface



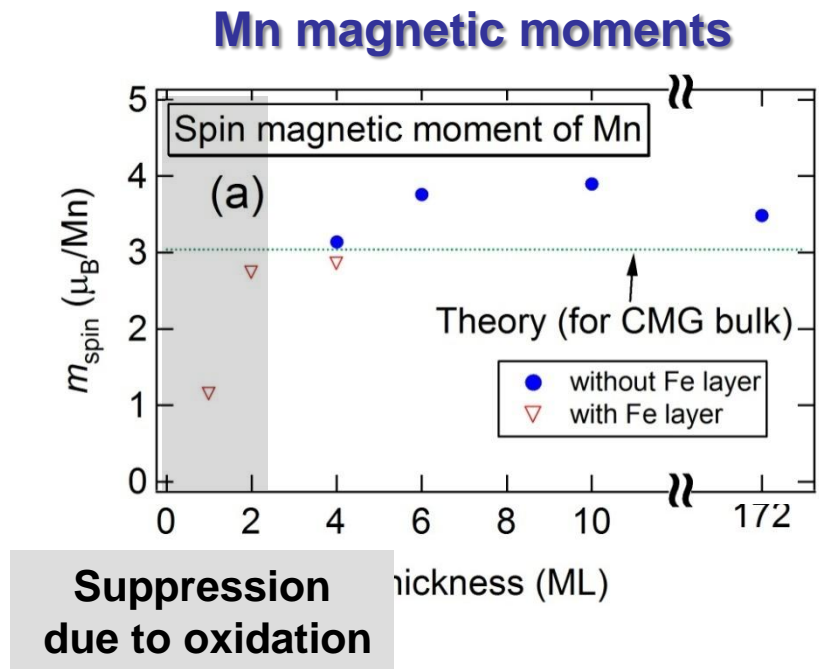
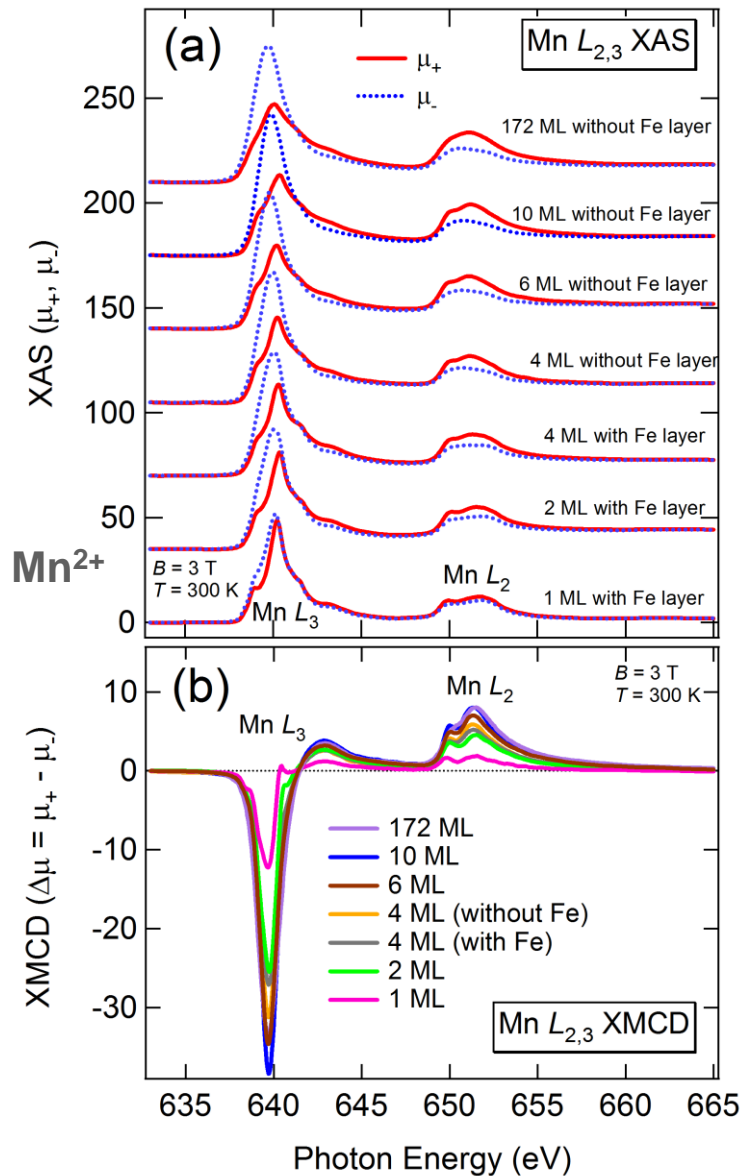
S. Picozzi et al., PRB '04

Co₂MnGe/MgO “half junction” samples for XMCD



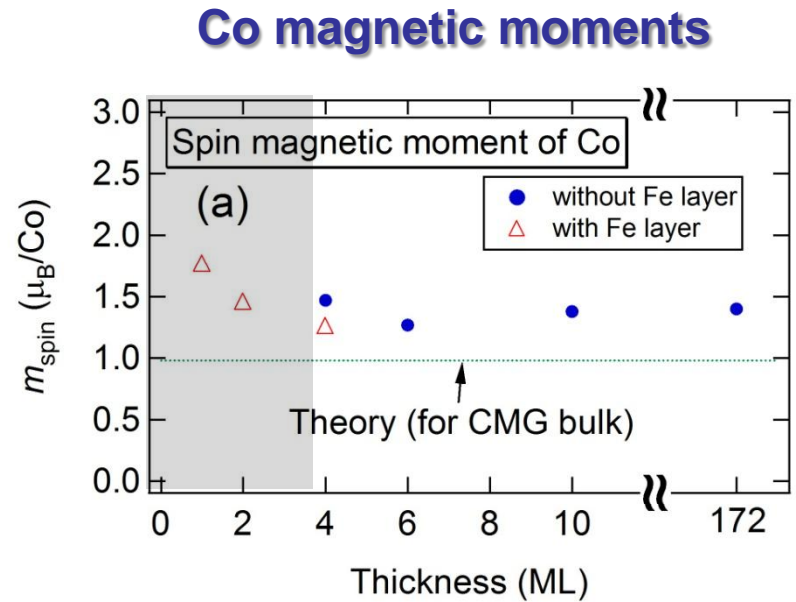
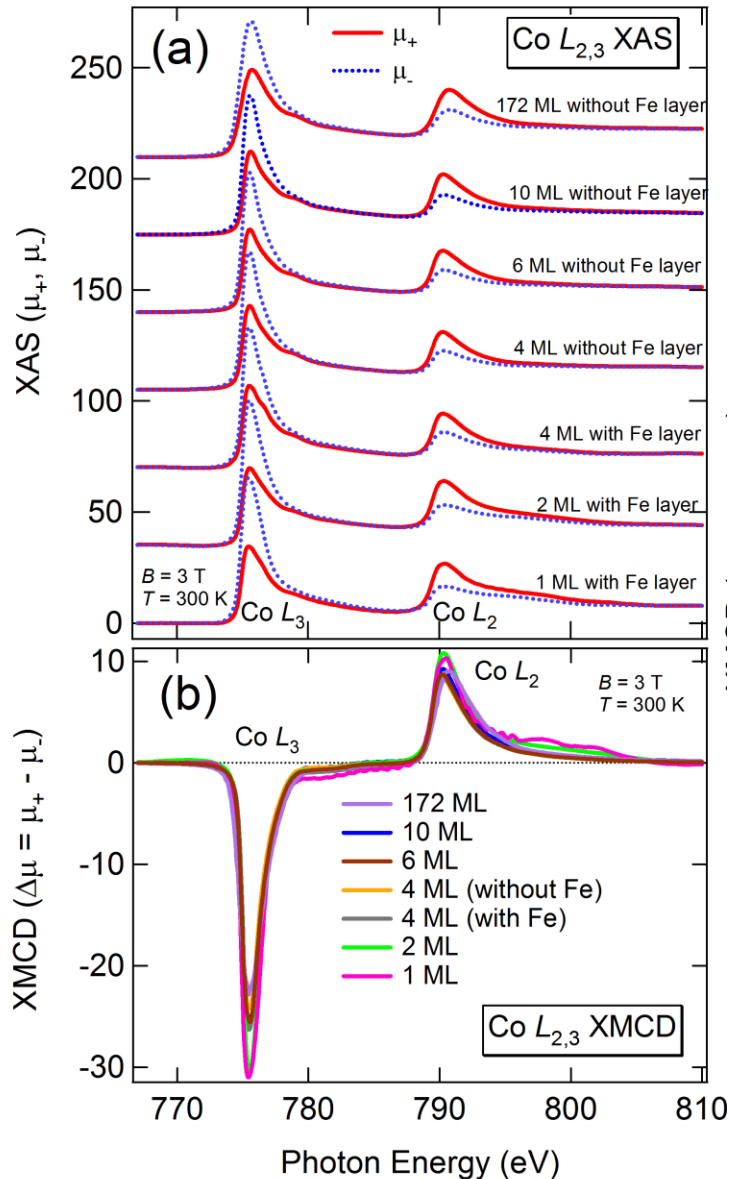
XMCD measurements
 TEY mode, @ KEK-PF BL-16A

Mn 2p core-level XMCD of Co₂MnGe/MgO



cf. No oxidation
in Co₂MnSi
T. Saito et al., PRB '10

Co 2p core-level XMCD of Co₂MnGe/MgO

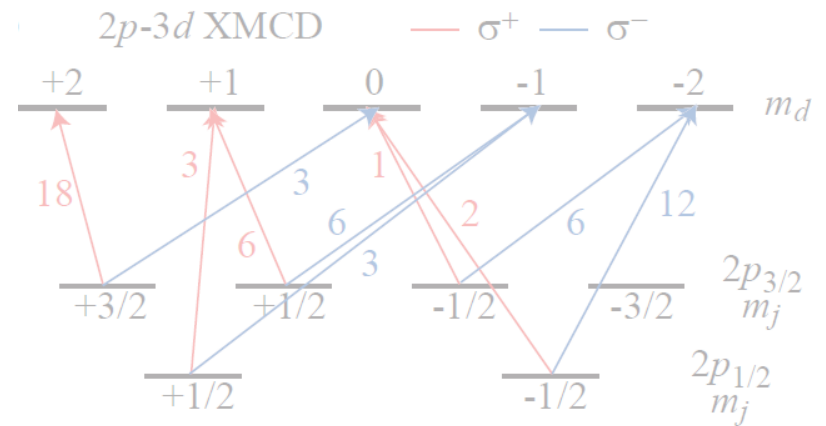
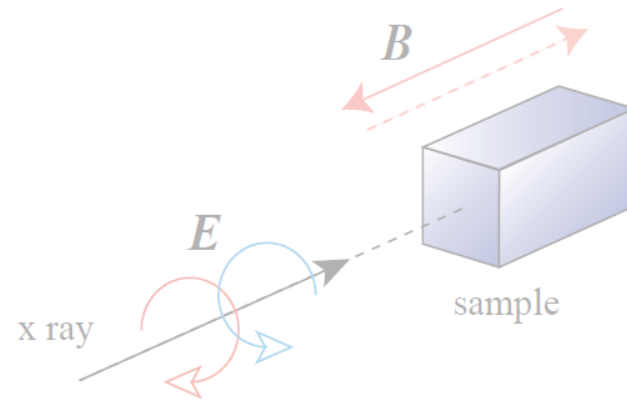


Enhancement due to Co antisite?

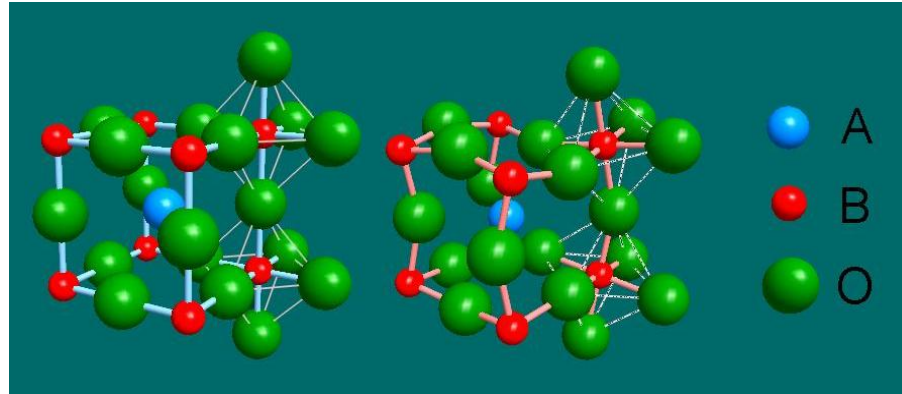
S. Picozzi et al., PRB '04

D. Asakura et al., PRB '10

酸化物薄膜

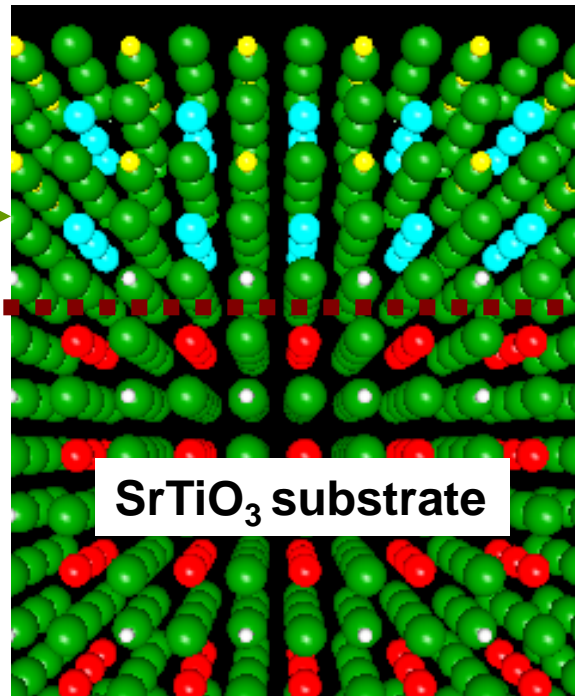


Research directions with oxide thin films



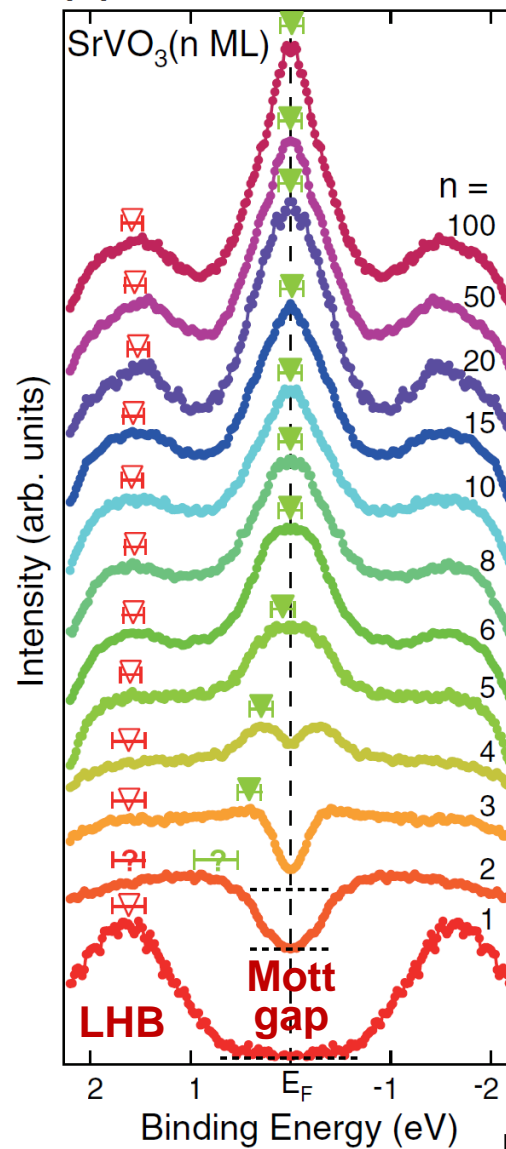
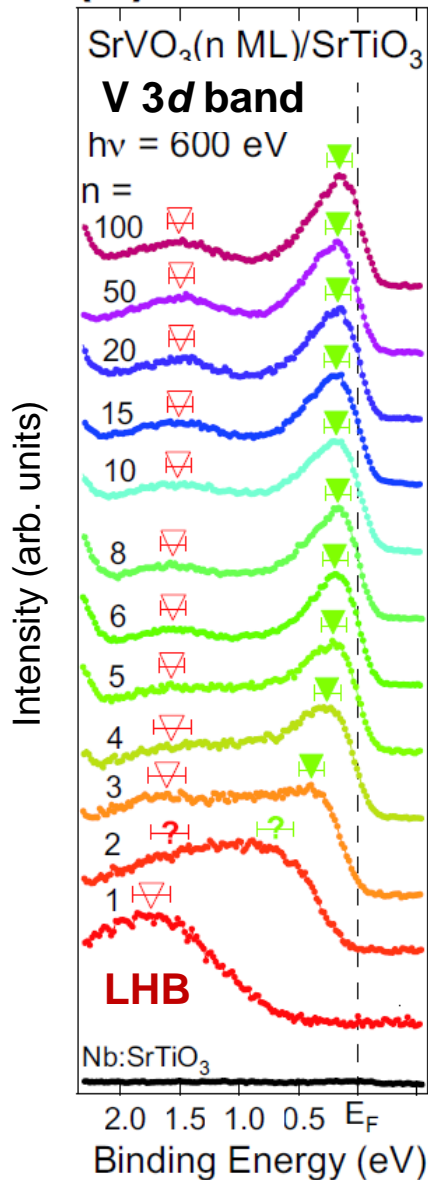
Epitaxial strain

Interfaces



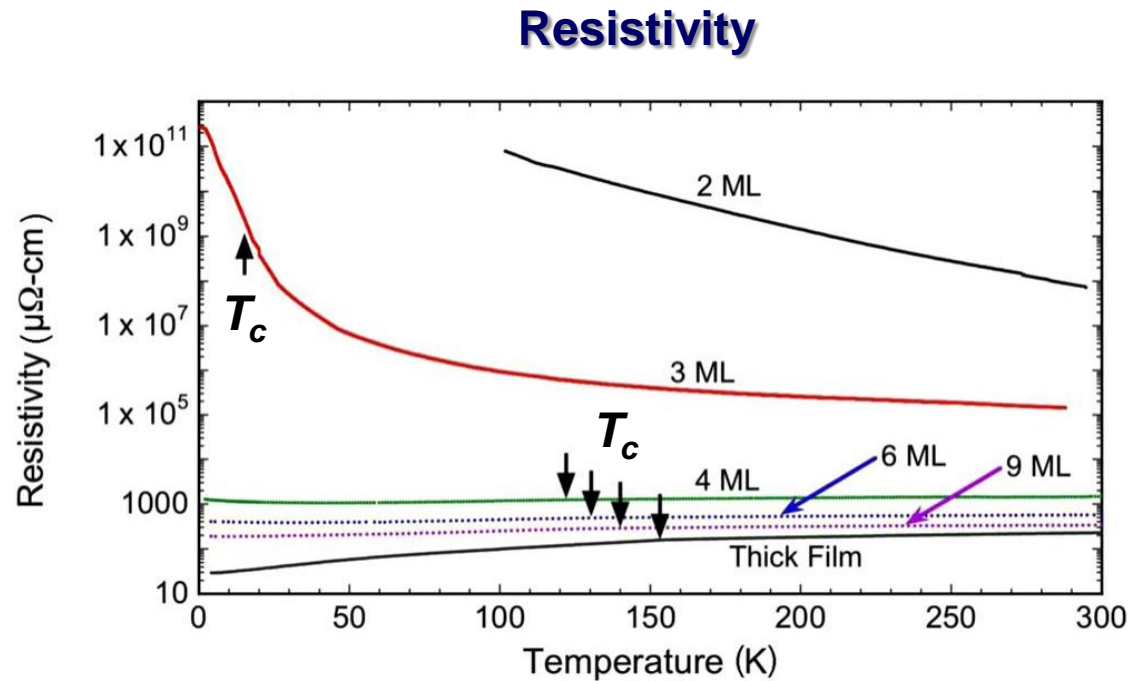
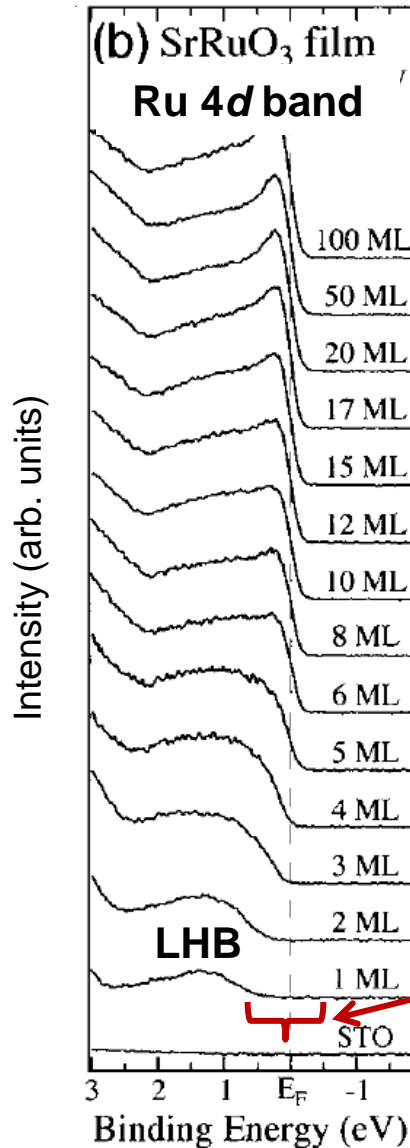
Finite thickness

Metal-to-insulator transition in SrVO_3 with decreasing film thickness



← MIT

Metal-to-insulator transition in SrRuO₃ with decreasing film thickness



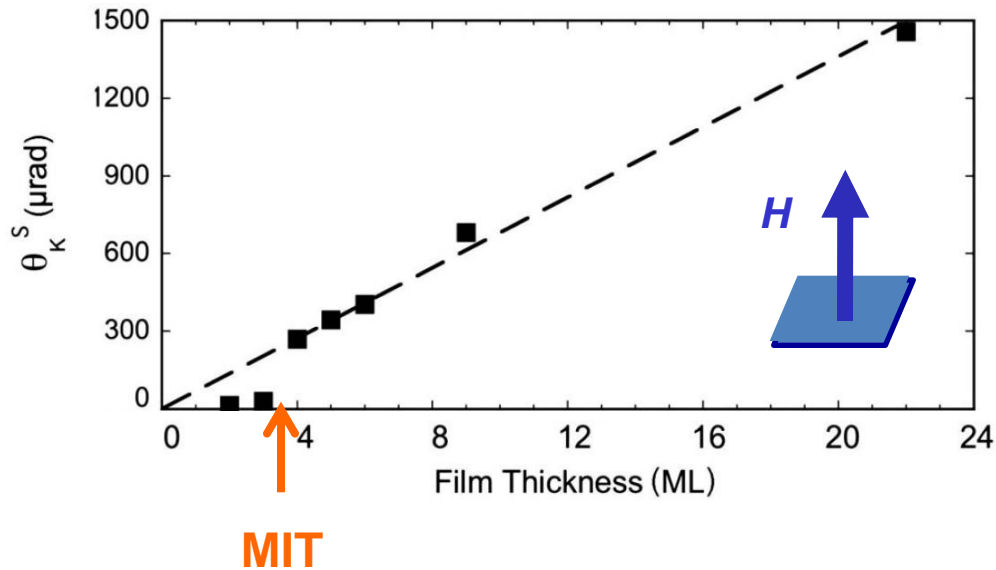
MIT
Mott gap

J. Xia et al., PRB '09

D. Toyota et al., APL '05

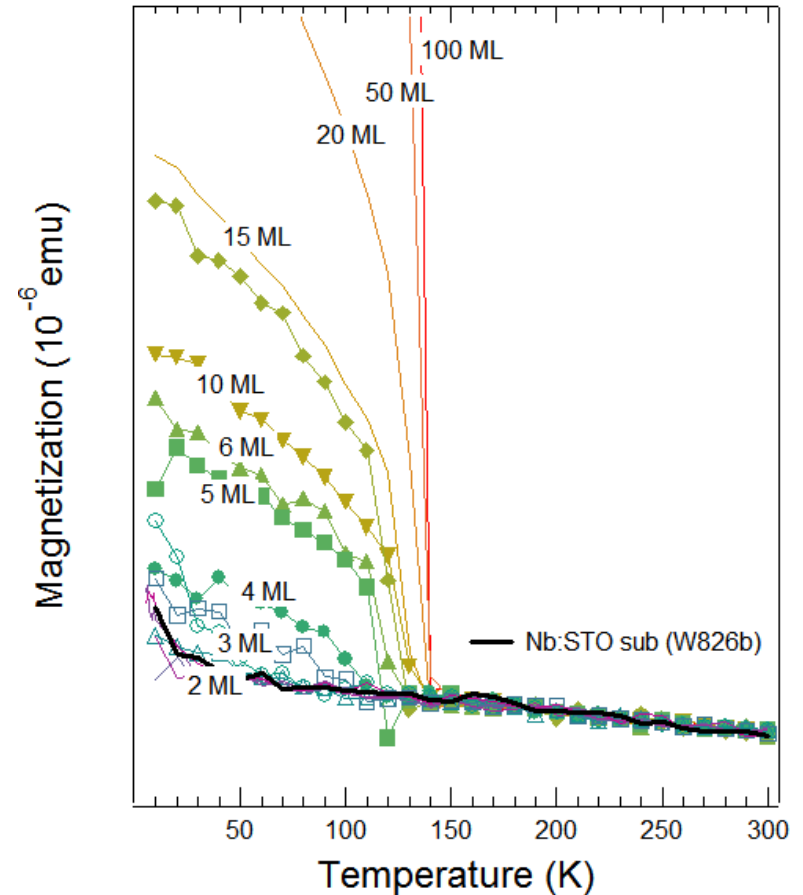
Concomitant ferromagnetic-to-paramagnetic transition in SrRuO₃ thin films

Polar Kerr effect



J. Xia et al., PRB '09

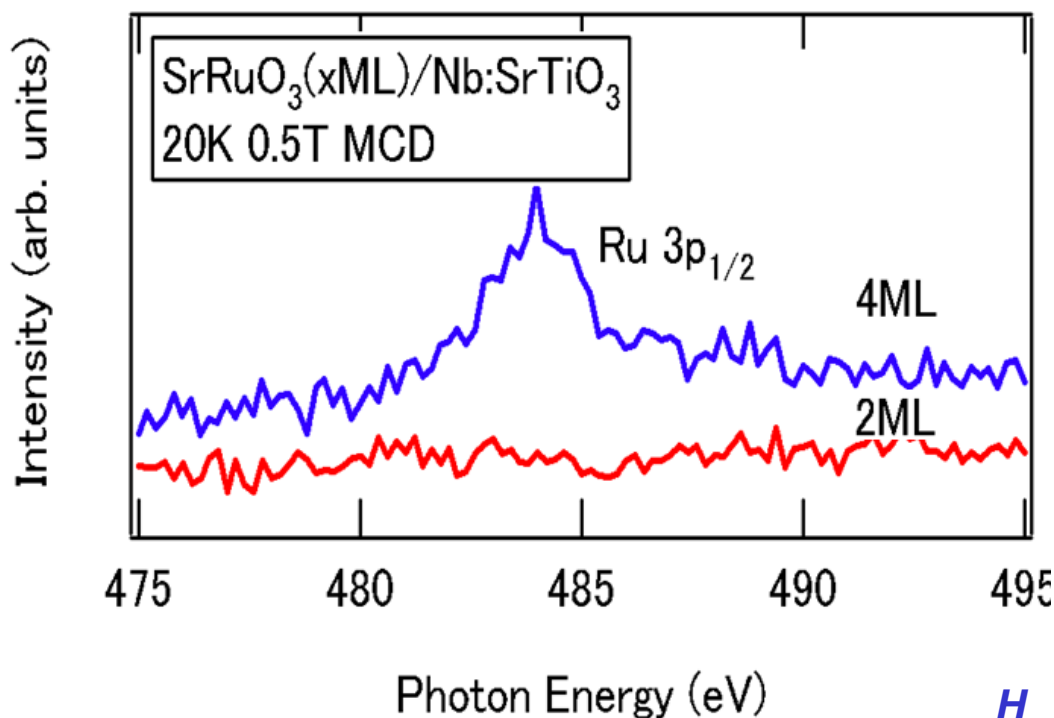
Magnetization measured by SQUID



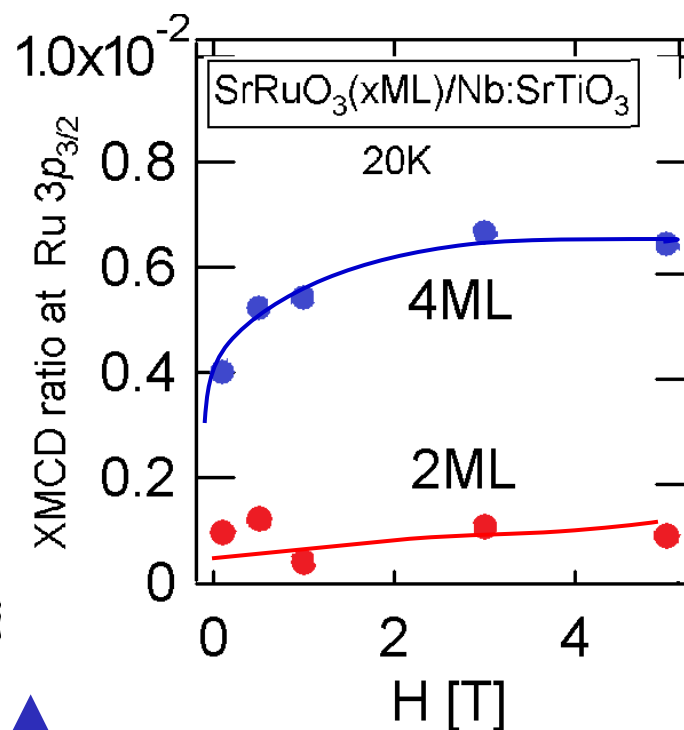
M. Takizawa et al.

Ru $3p \rightarrow 3d$ XMCD of SrRuO₃ thin films near critical thickness

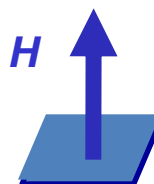
XMCD spectra



XMCD intensity vs H

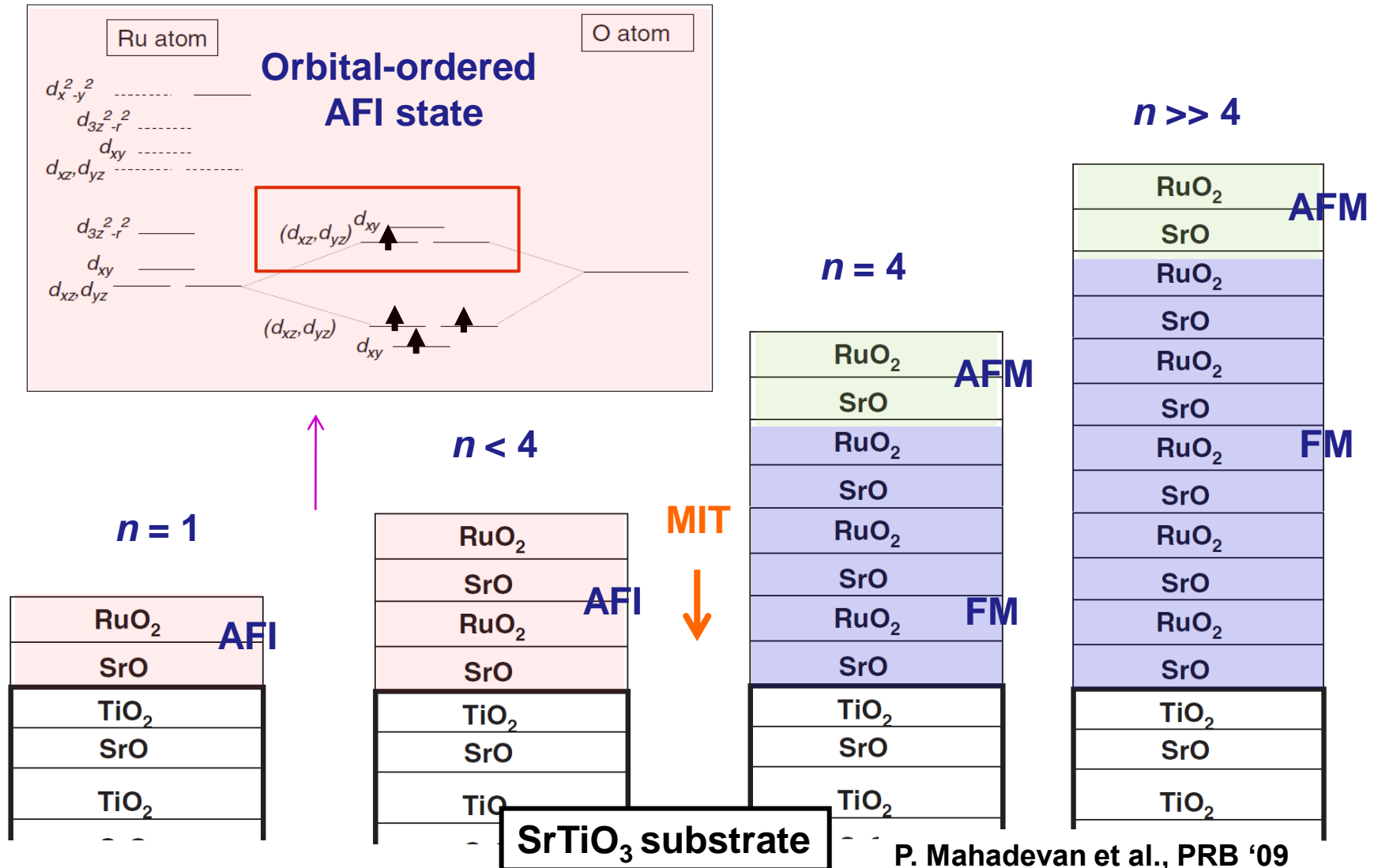


@ SPring-8 BL23-SU

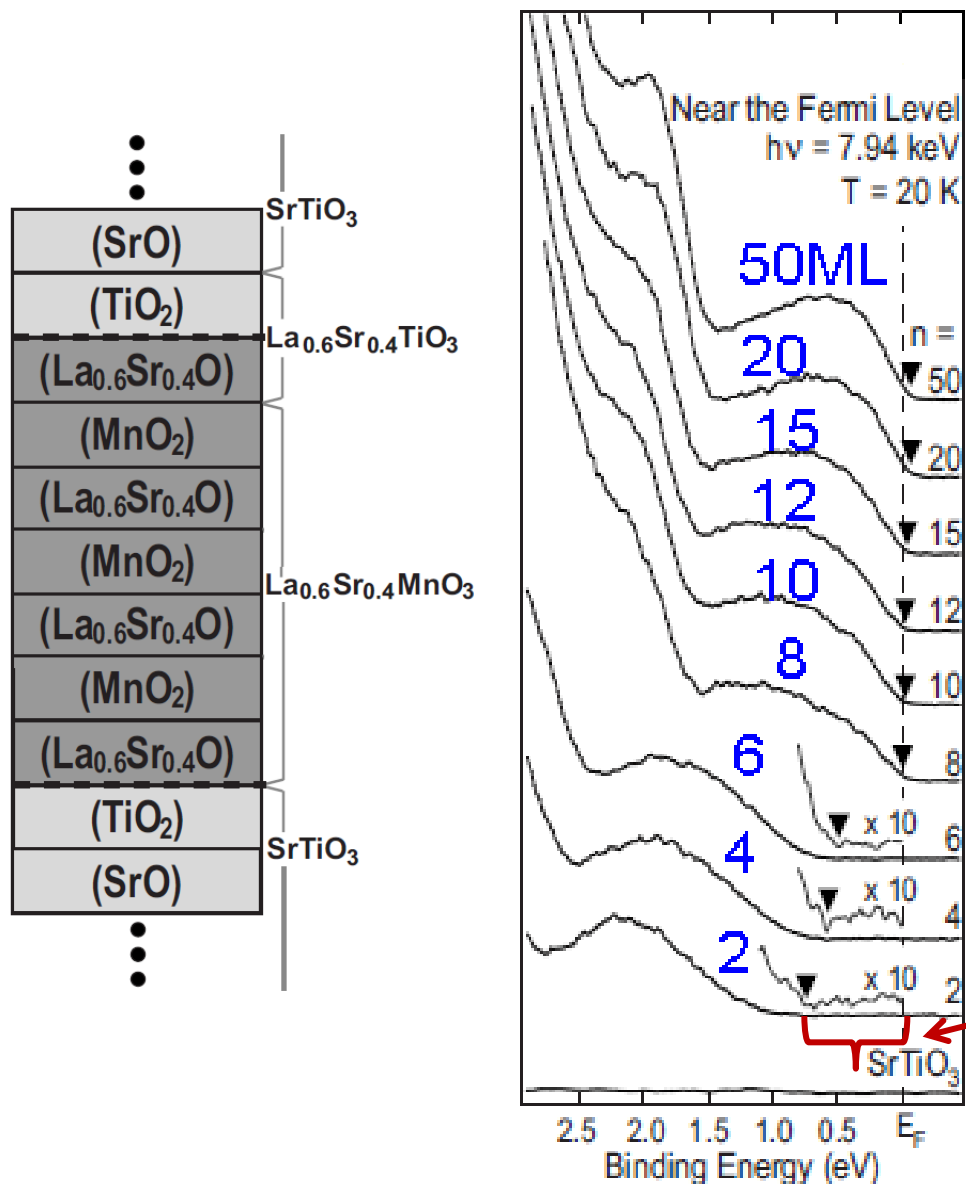


K. Ishigami et al.

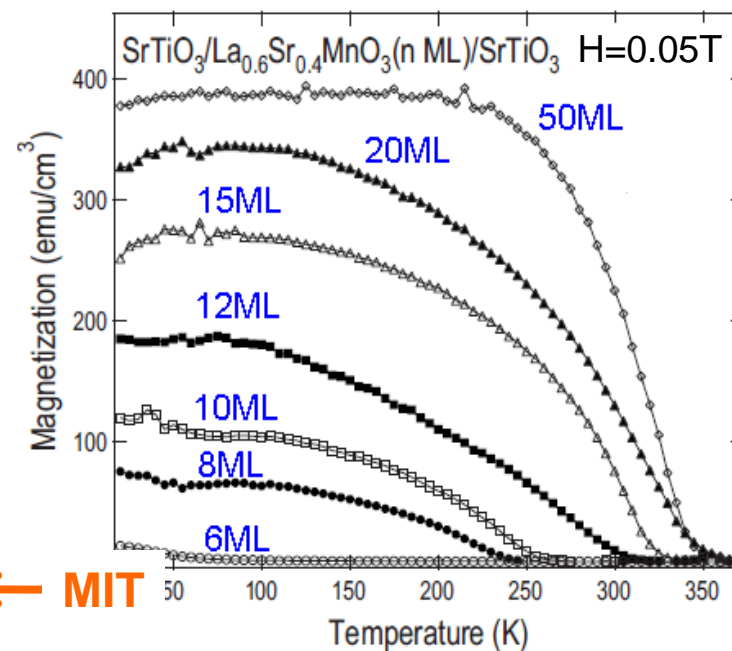
LDA+U calculation of SrRuO₃ thin films



Metal-to-insulator transition in $\text{La}_{1-x}\text{Sr}_x\text{MnO}_3$ with decreasing film thickness



Magnetization measured by SQUID

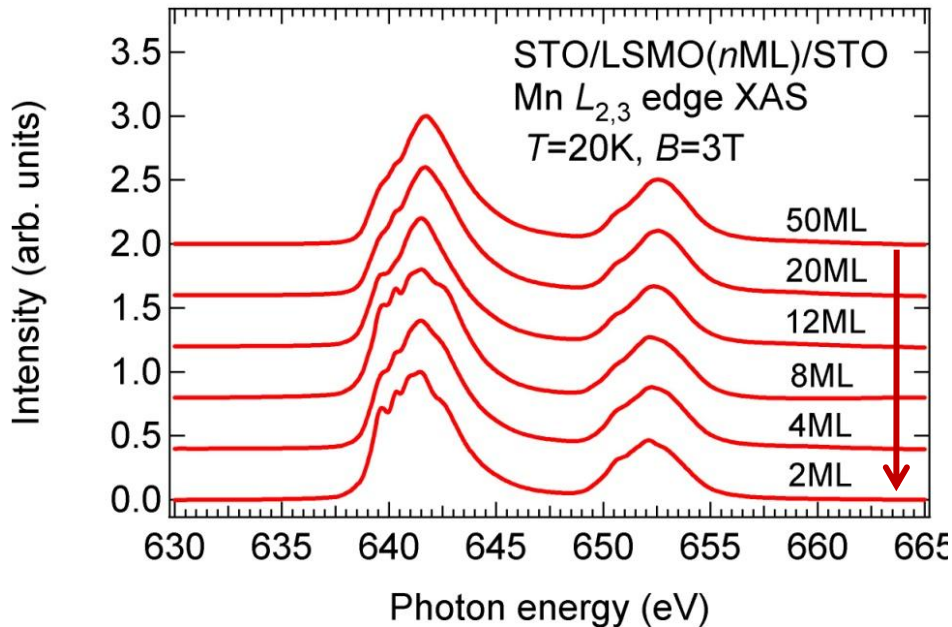


Mott gap

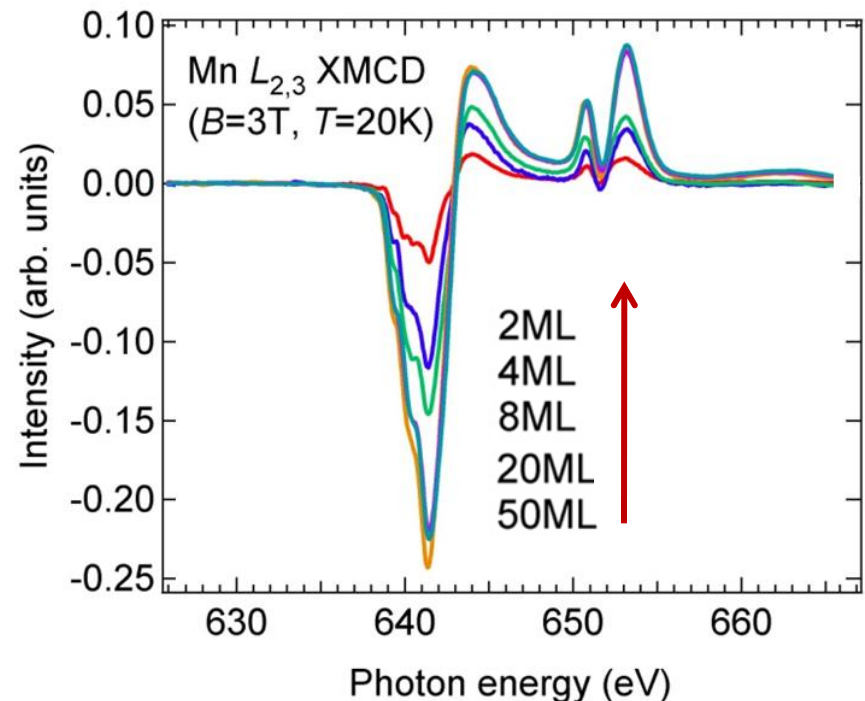


Mn $2p \rightarrow 3d$ XAS and XMCD of $\text{La}_{1-x}\text{Sr}_x\text{MnO}_3$ thin films

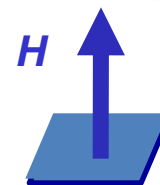
X-ray absorption spectroscopy (XAS) spectra



X-ray magnetic circular dichroism (XMCD) spectra



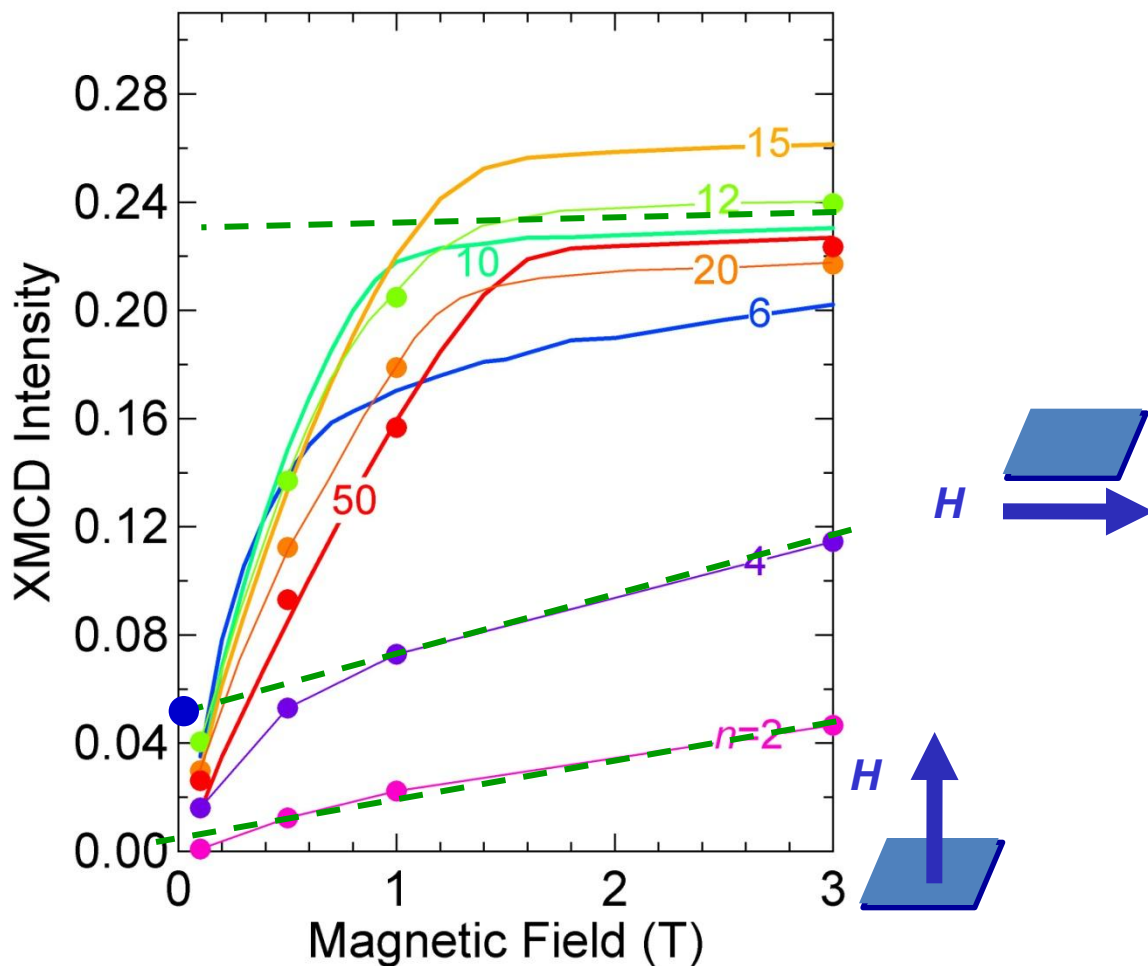
@ KEK-PF BL-16A



G. Shibata et al.

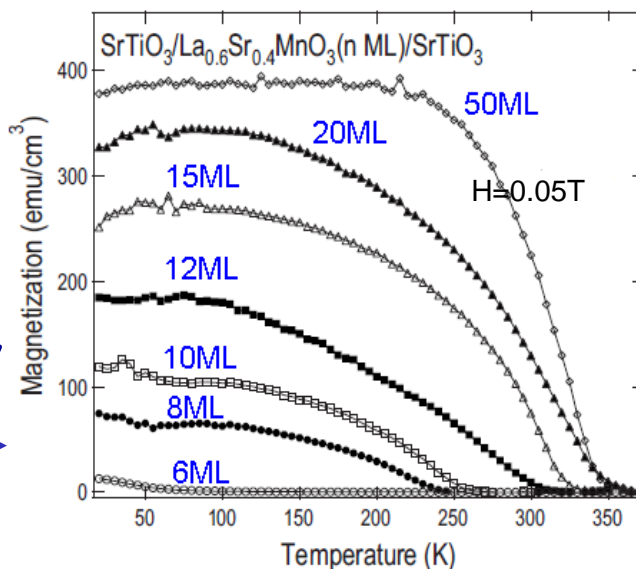
Mn 2p → 3d XMCD of La_{1-x}Sr_xMnO₃ thin films

XMCD intensity vs H



G. Shibata et al.

Magnetization



K. Yoshimatsu et al., APL '09

Summary of oxide thin films

- **Metallic transition-metal oxide undergoes an MIT with decreasing film thickness. Critical thickness for MIT is:**
 - ~3-4 ML (SrVO_3 , SrRuO_3)
 - ~6-8 ML ($\text{La}_{1-x}\text{Sr}_x\text{MnO}_3$)

- **Orbital states evolve as:**

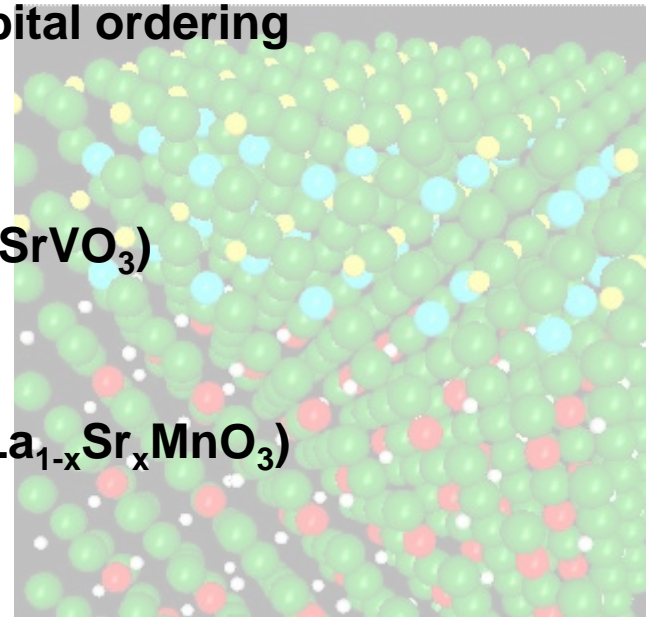
Band metal \rightarrow Quantum well \rightarrow Orbital ordering
MIT

- **Spin states evolve as:**

PM \rightarrow intermediate phase? \rightarrow AFI (SrVO_3)
MIT

FM \rightarrow FM(+AFM?) \rightarrow AFI (SrRuO_3)
MIT

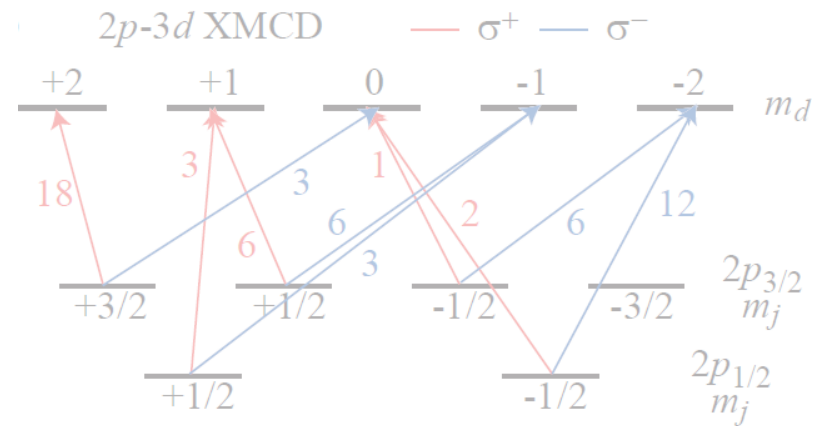
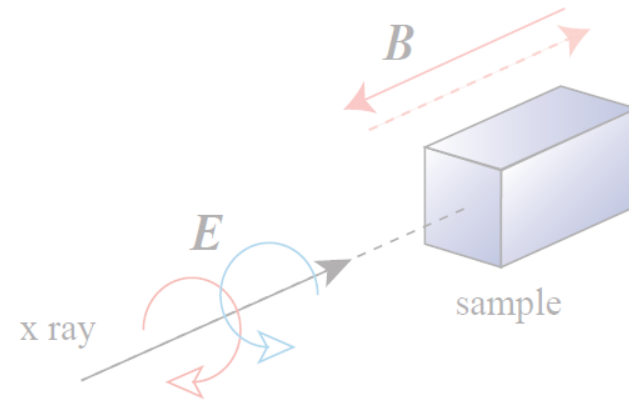
FM \rightarrow *H*-induced CAFI? ... \rightarrow AFI ($\text{La}_{1-x}\text{Sr}_x\text{MnO}_3$)
MIT



Summary

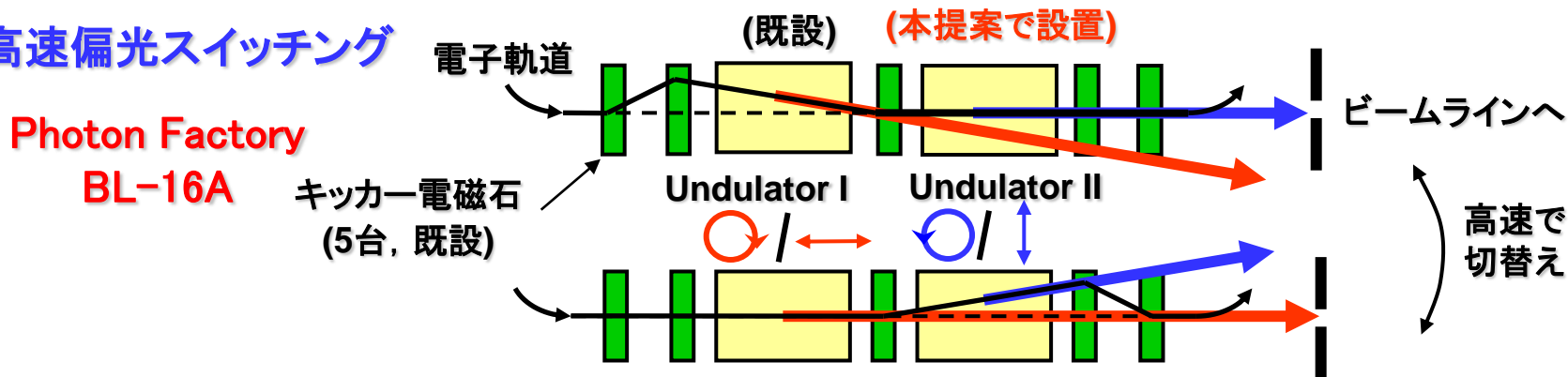
- 希薄磁性半導体薄膜: Crドープ $\text{Cd}_{1-x}\text{Mn}_x\text{Te}$
 - Mn-Cr間の強磁性的相互作用, Crから離れたMnの常磁性(+反強磁性)的な振る舞いが見出された.
- 磁気トンネル結合界面: ホイスラー $\text{Co}_2\text{MnGe}/\text{MgO}/\text{Co}_2\text{MnGe}$
 - TMRを劣化させるCoアンチサイトの大きなスピンモーメント, TMRを劣化させないMnアンチサイトの逆向きスピンモーメントが確認された.
- 酸化物薄膜: SrRuO_3 , $\text{La}_{1-x}\text{Sr}_x\text{MnO}_3$
 - 薄膜化による強磁性と金属性の同時消失は, 軌道整列・反強磁性状態の出現による?

今後の展望

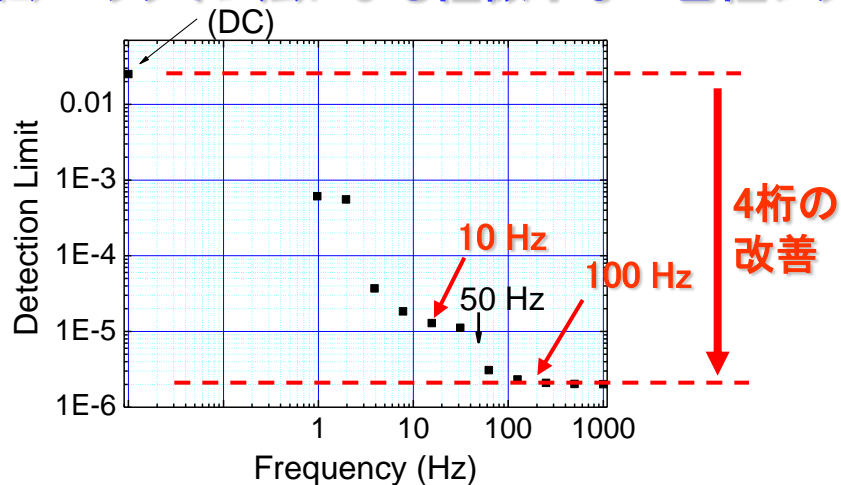


高速偏光スイッチングアンジュレータ

(1) 高速偏光スイッチング



(2) ロックイン法による極微小な二色性シグナルの検出



円二色性: 左右円偏光に対するシグナルの差
 直流(DC)測定では 1%程度が検出限界

偏光の交流スイッチング

⇒ 10^{-4} — 10^{-5} の円二色性・線二色性の観測

※ 現時点での報告例: 10^{-3} 程度 (1 Hz利用)

スイッチング周波数: 10 Hzを確実に実現

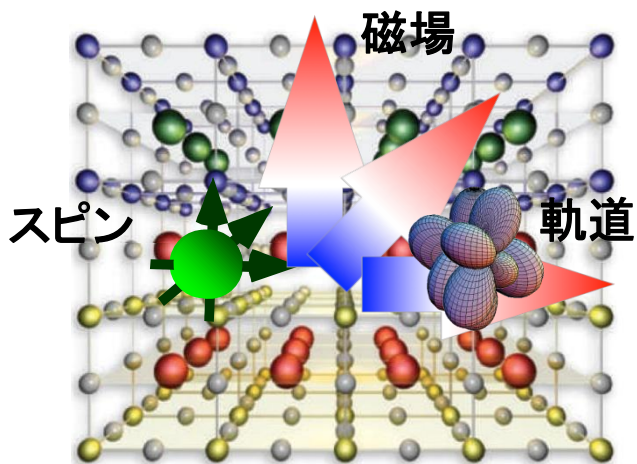
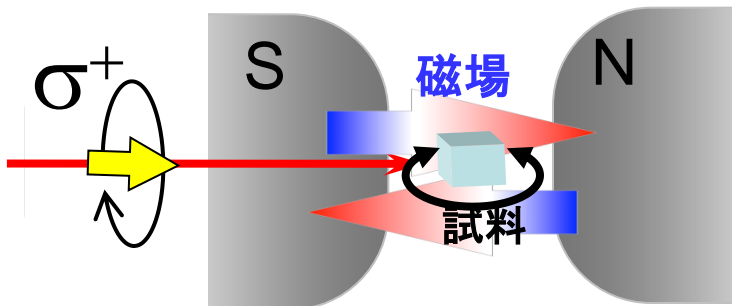
100 Hzを目指した技術開発

量子ビーム基盤技術開発プログラム

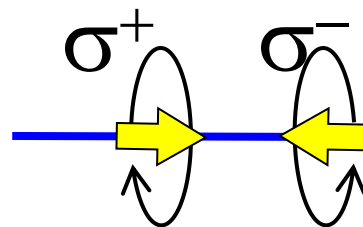
「軟X線の高速偏光制御による機能性材料の探究と創製」@KEK-PF

ベクトル型マグネットと高速偏光スイッチングを用いたXMCD

従来のXMCD装置

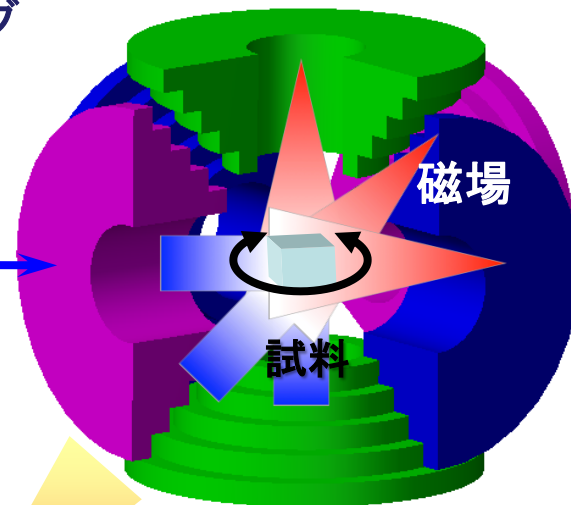


高速偏光スイッチング



KEK-PF BL-16

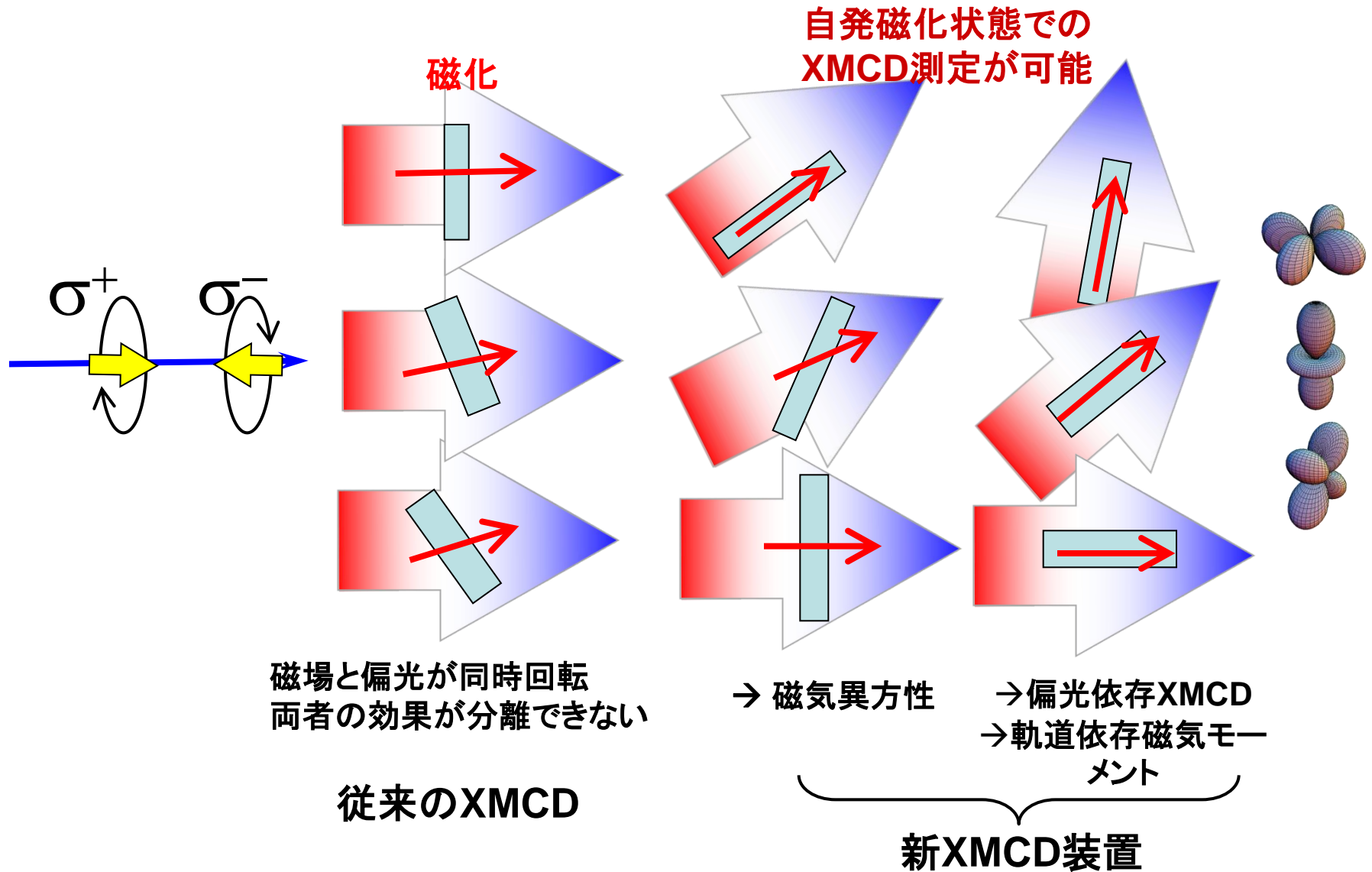
ベクトル型超伝導マグネット



YBCO線材
H<1 T

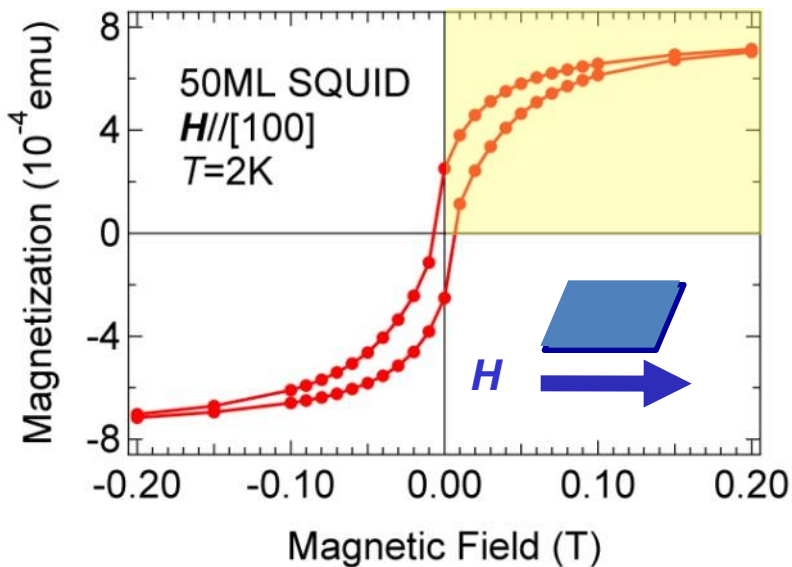
- 磁気異方性
- スピン-軌道状態
- 相競合, 相分離

方向可変磁場を用いたXMCD

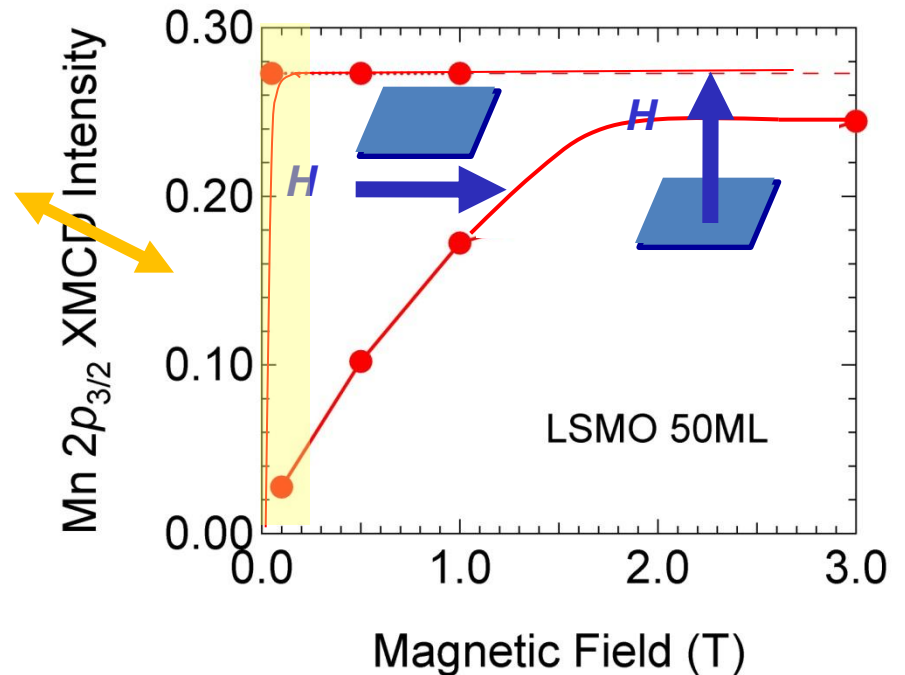


La_{1-x}Sr_xMnO₃薄膜の磁気異方性

Magnetization measured by SQUID

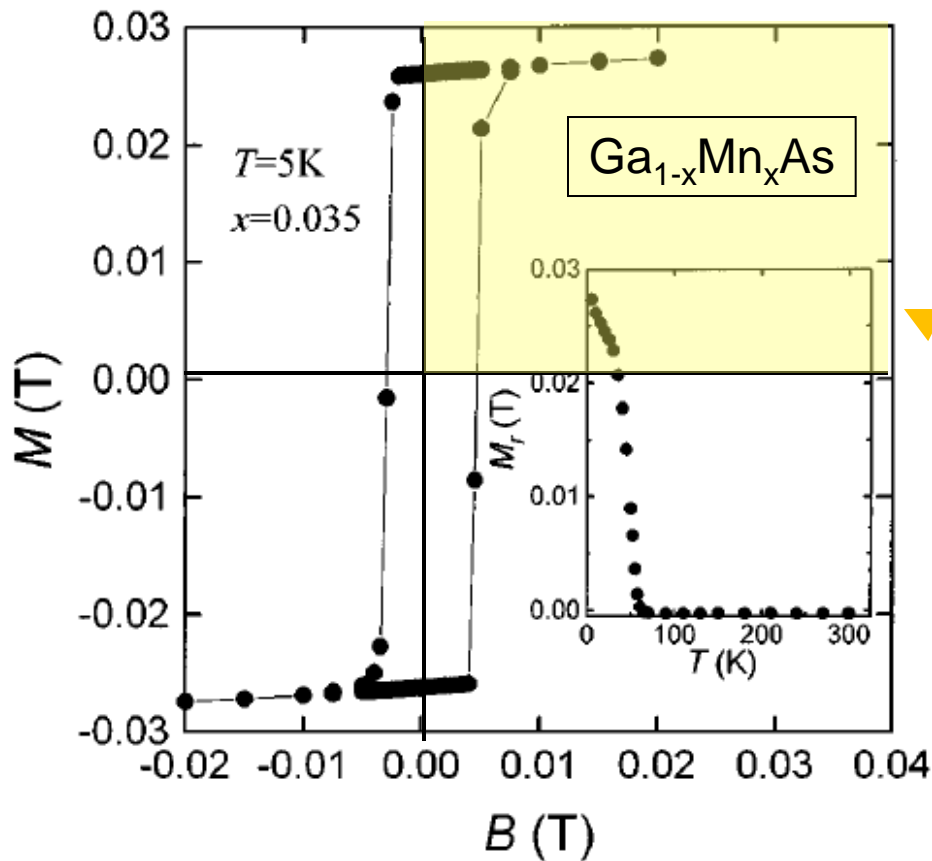


XMCD intensity vs H



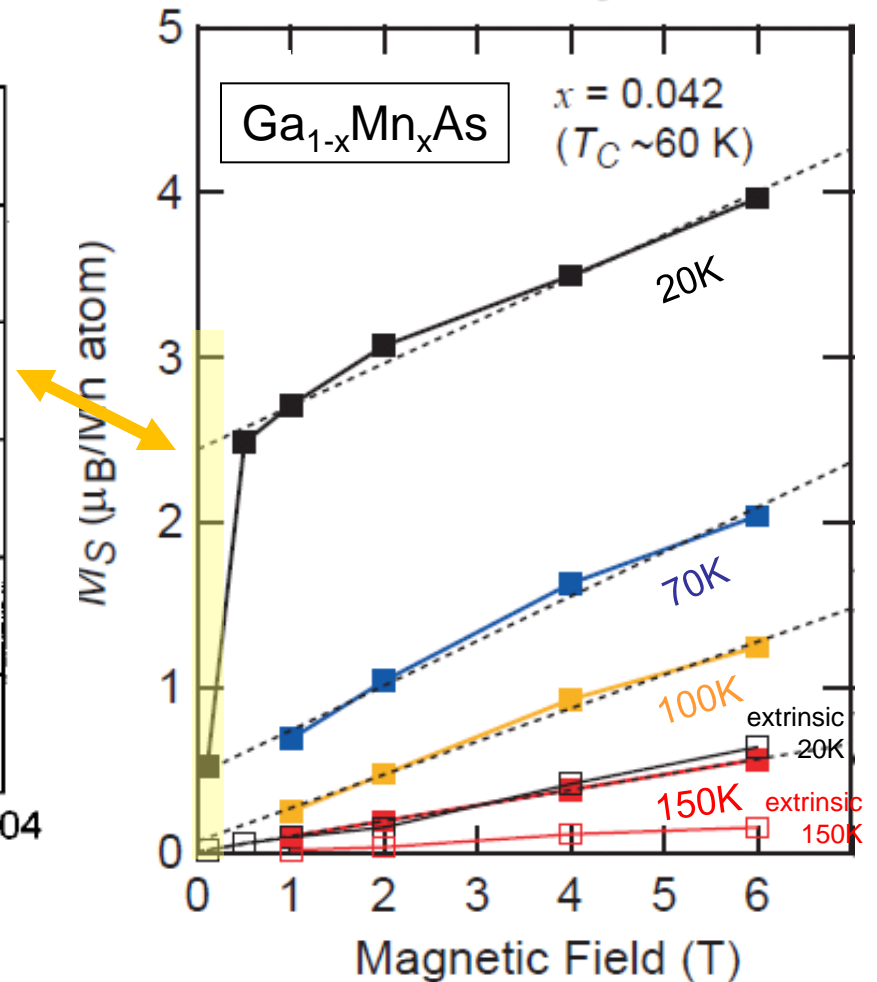
Ga_{1-x}Mn_xAs (薄膜試料) の磁気異方性

Magnetization measured by SQUID



H. Ohno et al. APL '96

XMCD intensity vs H



Y. Takeda et al. PRL '08

スピン-軌道相互作用に起因するSrRuO₃薄膜の異常な磁気異方性

Magnetization measured by SQUID

